

บรรณานุกรม

กรกช แสงรัตนกุล, จรัญ กาญจนประดิษฐ์, และกิตติพงษ์ มีสวاستี. (2552). ความสำคัญขององค์ประกอบอารมณ์อนิกส์ของเสียงชั้นลุ่ยเพียงพอ. *Proceedings of the Thaksin University Annual Conference*, 19(1), 69–77.

กิตติพงษ์ มีสวاستี, จรัญ กาญจนประดิษฐ์, และภาคภูมิ โชคชัยรุ่งโรจน์. (2549). การประเมินระบบเสียงธรรมชาติของชั้นลุ่ยเพียงพอ. *Proceedings of the EECON*, 29(2), 1053–1056.

กิตติพงษ์ มีสวاستี และภาคภูมิ โชคชัยรุ่งโรจน์. (2550). การวิเคราะห์และสังเคราะห์และสังเคราะห์เครื่องดนตรีไทยโดยใช้กรวยวิธีจำลองสภาพทางกายภาพ กรณีศึกษา : พิณพื้นบ้าน. ขอนแก่น: มหาวิทยาลัยขอนแก่น.

ธัญญาลักษณ์ ดิษฐ์สูงเนิน, จีรสุดา โภเชียกรณ์, และปริโมทย์ วادเขียน. (2552). การปรับปรุงการประมาณค่าเชิงเส้นแบบด้วยอย. *Proceedings of the EECON*, 32(2), 1055–1058.

รุ่งกานต์ ศิริเจริญไชย. (2544). การสังเคราะห์เสียงชั้นลุ่ยไทยโดยใช้ Sinusoidal Plus Noise Model. วิทยานิพนธ์ปริญญาวิทยาศาสตร์มหาบัณฑิต สาขาวิชาเทคโนโลยีสารสนเทศ บัณฑิตวิทยาลัย สถาบันเทคโนโลยีพระจอมเกล้าเจ้าคุณทหารลาดกระบัง.

ลัญฉกร วุฒิลิทธิ์กุลกิจ, รังษัย ใจน้ำกังสดาล, พิสิฐ วนิชชานันท์, กำพล วรดิษฐ์, กำพล วรดิษฐ์, วรากร ศรีเชวงทรัพย์, และคณะ. (2549). การใช้งานโปรแกรม MATLAB เป็นต้น. กรุงเทพฯ: สำนักพิมพ์แห่งจุฬาลงกรณ์มหาวิทยาลัย.

วีระ ทองไฟบูลย์. (2550). ขั้นตอนวิธีสำหรับการรู้จำระดับเสียงและชนิดของเครื่องดนตรีไทย. วิทยานิพนธ์ปริญญาวิศวกรรมศาสตร์มหาบัณฑิต สาขาวิศวกรรมไฟฟ้า บัณฑิตวิทยาลัย สถาบันเทคโนโลยีพระจอมเกล้าพระนครเหนือ.

สรวุฒิ สุจิตาร. (2545). การวิเคราะห์เสียงดนตรีไทย. นครราชสีมา: มหาวิทยาลัยเทคโนโลยีสุรนารี.

ฤทธิ์ตัน ชินเวชกิจวานิชย์. (2547). การวิเคราะห์เสียงโน้ตหลักของชั้นลุ่ยเพียงพอ. วิทยานิพนธ์ปริญญาวิศวกรรมศาสตร์มหาบัณฑิต สาขาวิศวกรรมไฟฟ้า บัณฑิตวิทยาลัย มหาวิทยาลัยเทคโนโลยีสุรนารี.

Chu, W.C. (2003). *Speech Coding Algorithms*. New Jersey: John Wiley & Sons.

Cook, P.R. (2004). *Real Sound Synthesis for Interactive Applications*. Wellesley: A K Peters.

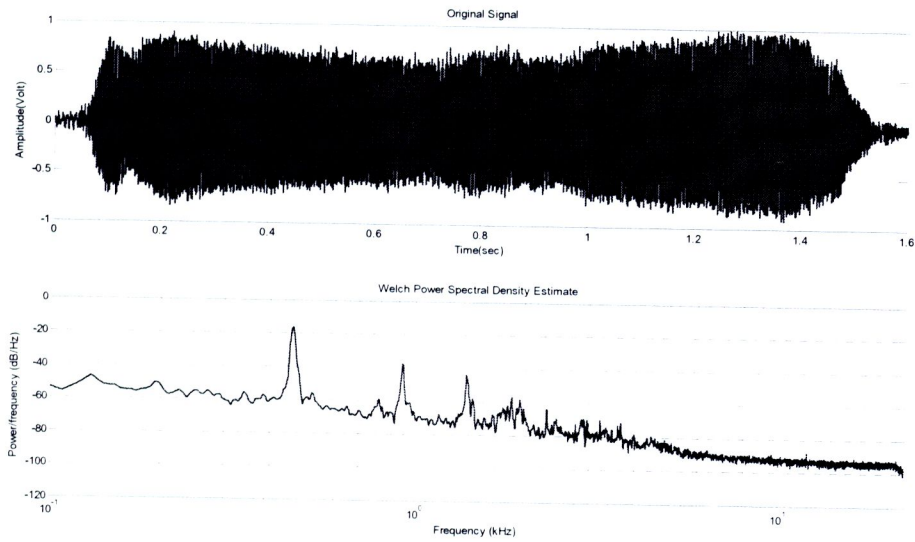
Dodge C., and Jerse T.A. (1997). *Computer Music*. New York: Schirmer Books.

- Makhoul, J. (1975). Linear Prediction : A Tutorial Review. **Proceeding of the IEEE**, 63(4), 561–580.
- Moore, B.J.C. (1997). **An Introduction of the Psychology of Hearing**. 4th ed. Great Britain: Academic Press.
- Proakis, J. G., and Manolakis, D.G. (1996). **Digital Signal Processing**. 3th ed. New Jersey: Prentice-Hall.
- Sturdivant, S.R. (2004). **Subtractive Synthesis of B^b Clarinet Based On Empirical Data**. The Degree of Master of Science, Department of Electrical Engineering, University of Rochester, U.S.A.

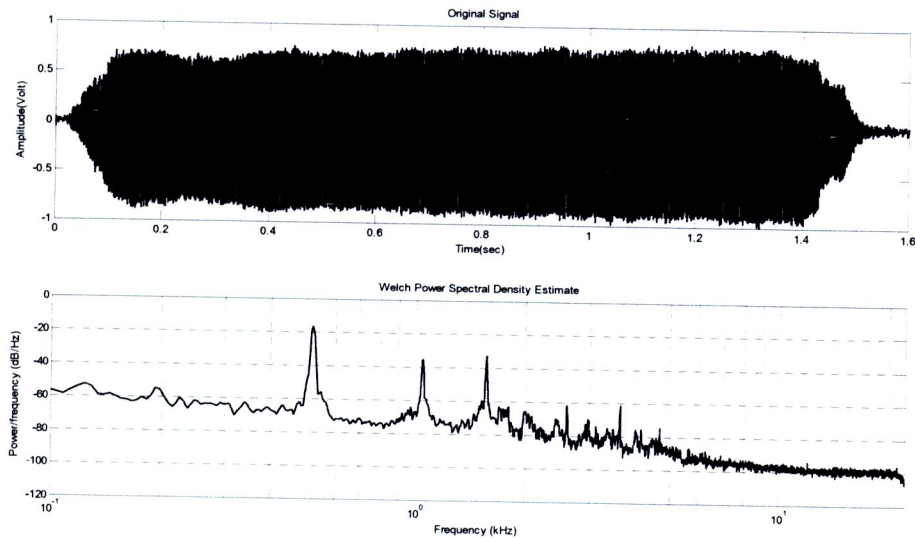
ภาคผนวก

ภาคผนวก ก

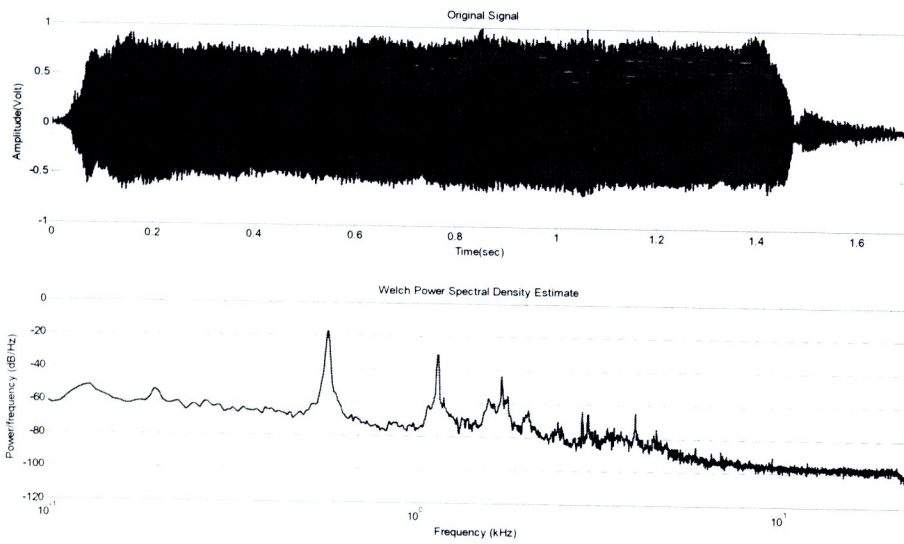
สัญญาณเสียงชลุยเพียงอต้นฉบับและการคำนวณสเปกตรัมกำลังโดยกรรมวิธีของเวลา



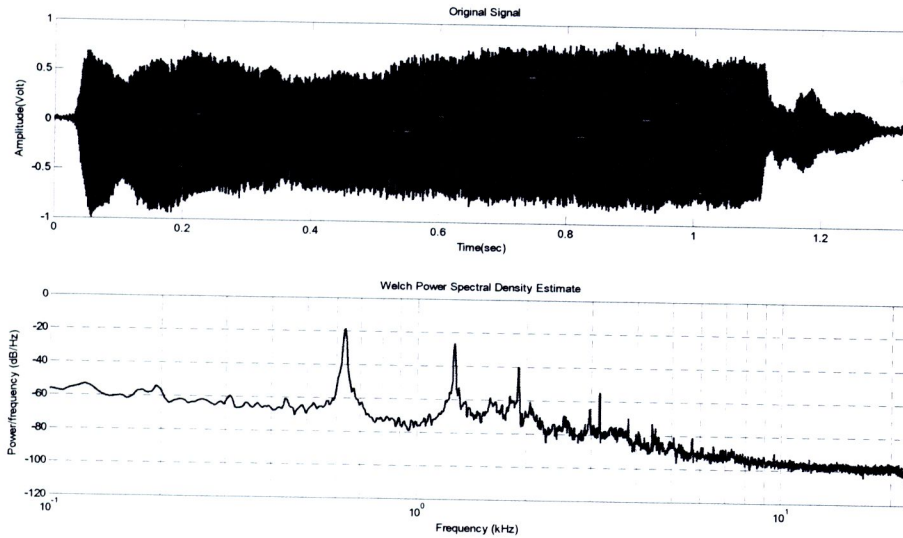
ภาพที่ ก.1 สัญญาณเสียงโดยตัวต้นฉบับ และสเปกตรัมที่วิเคราะห์ด้วยฟังก์ชันความหนาแน่นสเปกตรัมกำลัง



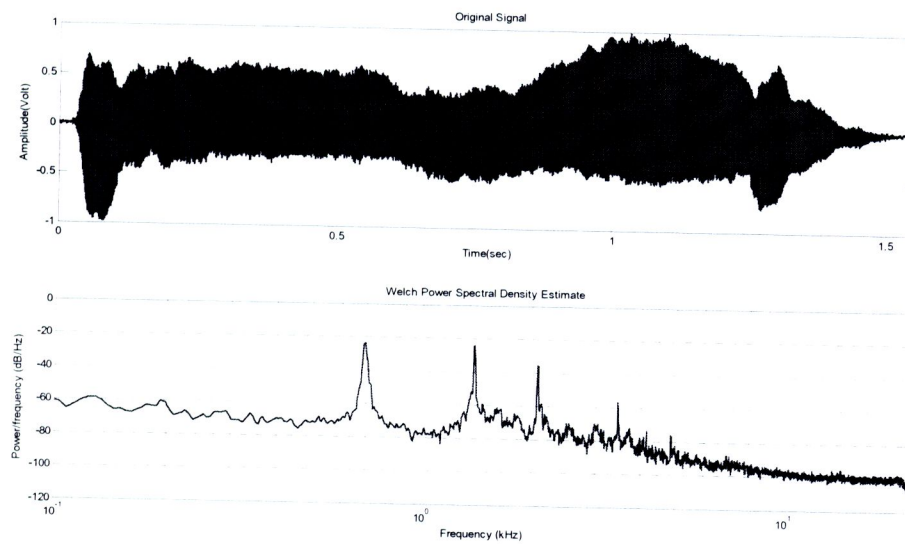
ภาพที่ ก.2 สัญญาณเสียงเรตตันฉบับ และสเปกตรัมที่วิเคราะห์ด้วยฟังก์ชันความหนาแน่นสเปกตรัมกำลัง



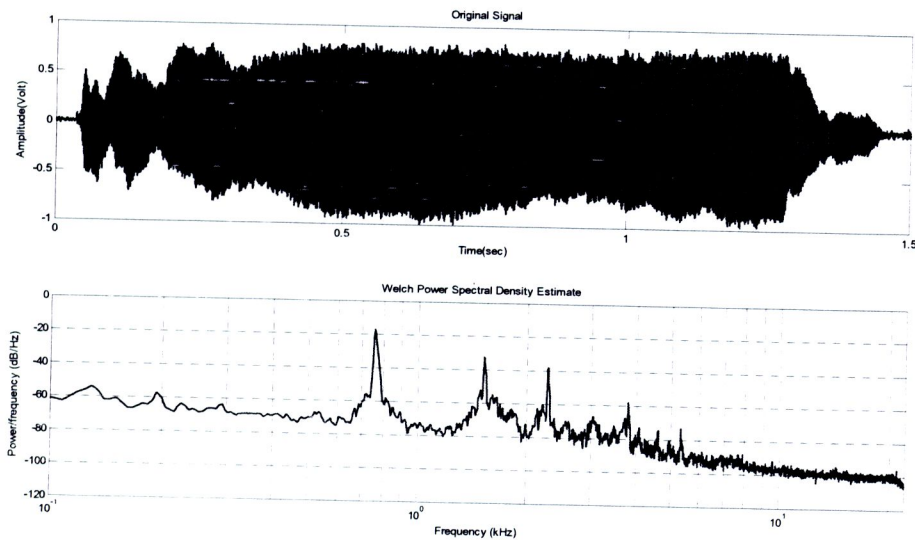
ภาพที่ ก.3 สัญญาณเสียงมีต้นฉบับ และสเปกตรัมที่วิเคราะห์ด้วยฟิงก์ชันความหนาแน่นสเปกตรัมกำลัง



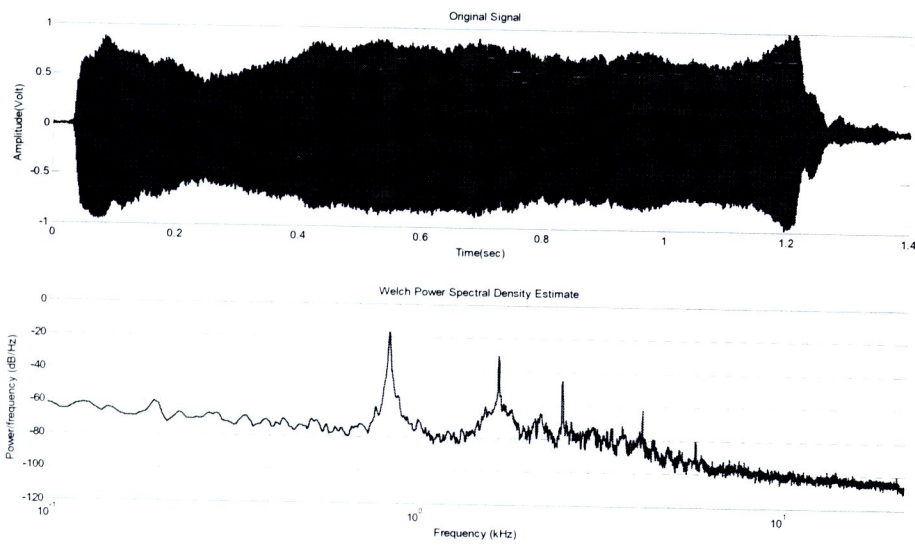
ภาพที่ ก.4 สัญญาณเสียงฟ่าต้นฉบับ และสเปกตรัมที่วิเคราะห์ด้วยฟิงก์ชันความหนาแน่นสเปกตรัมกำลัง



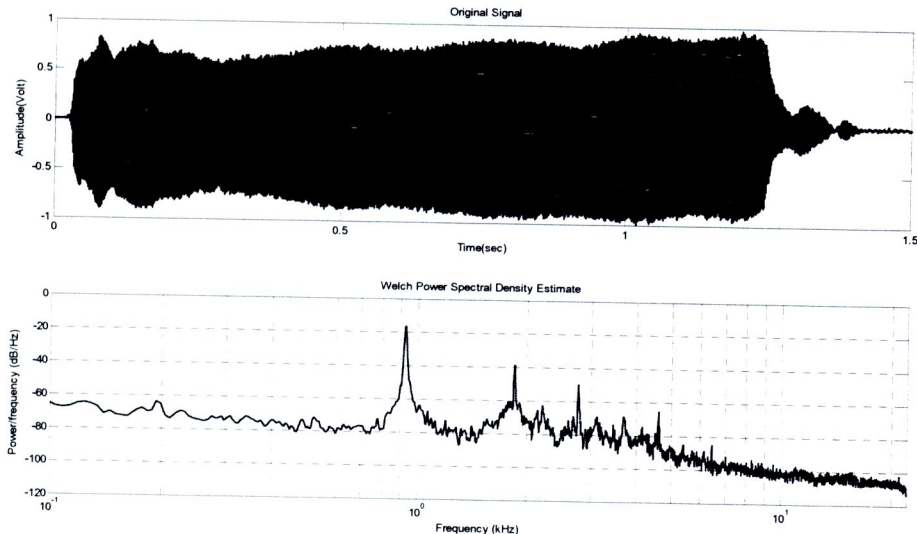
ภาพที่ ก.5 สัญญาณเสียงชอลตันฉบับ และสเปกตรัมที่วิเคราะห์ด้วยฟังก์ชันความหนาแน่นสเปกตรัมกำลัง



ภาพที่ ก.6 สัญญาณเสียงลาตันฉบับ และสเปกตรัมที่วิเคราะห์ด้วยฟังก์ชันความหนาแน่นสเปกตรัมกำลัง



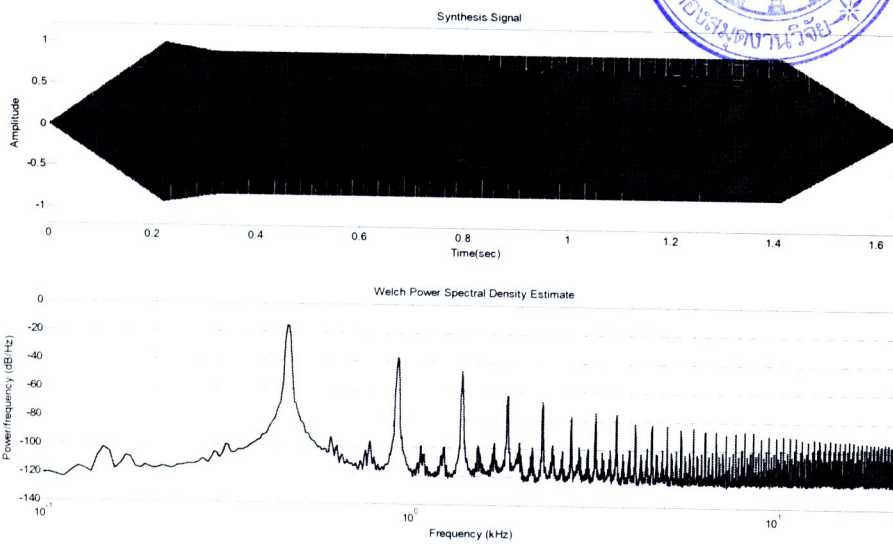
ภาพที่ ก.7 สัญญาณเสียงที่ต้นฉบับ และสเปกตรัมที่วิเคราะห์ด้วยฟังก์ชันความหนาแน่นสเปกตรัมกำลัง



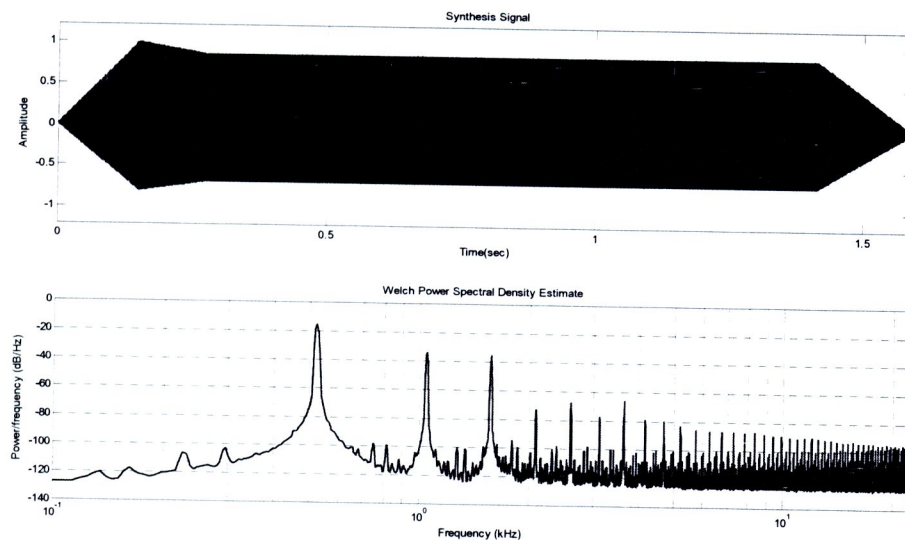
ภาพที่ ก.8 สัญญาณเสียงโดยสูงต้นฉบับ และสเปกตรัมที่วิเคราะห์ด้วยฟังก์ชันความหนาแน่นสเปกตรัมกำลัง

ภาคผนวก ข

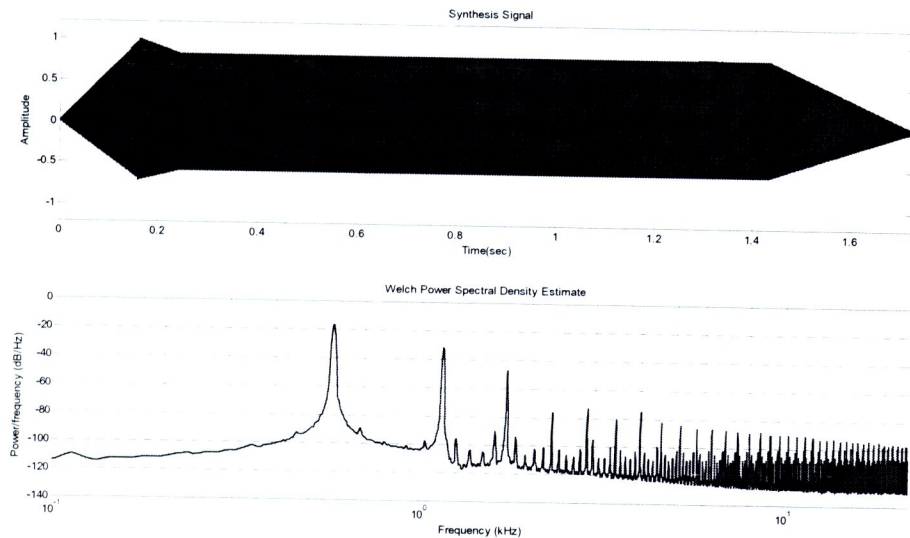
สัญญาณเสียงชุ่ยเพียงอสังเคราะห์ด้วยกรรมวิธี Subtractive Synthesis โดยใช้การประมาณค่าเชิงเส้นและการคำนวณสเปกตรัมกำลังโดยกรรมวิธีของเวลช์



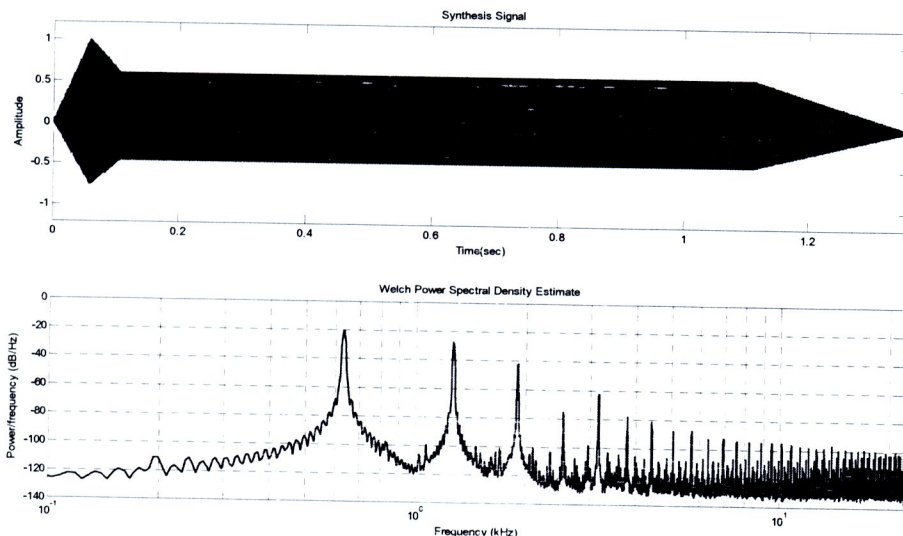
ภาพที่ ข.1 สัญญาณเสียงโดยตัวสังเคราะห์ด้วยกรรมวิธี Subtractive Synthesis โดยใช้การประมาณค่าเชิงเส้น และสเปกตรัมที่วิเคราะห์ด้วยฟังก์ชันความหนาแน่นสเปกตรัมกำลัง



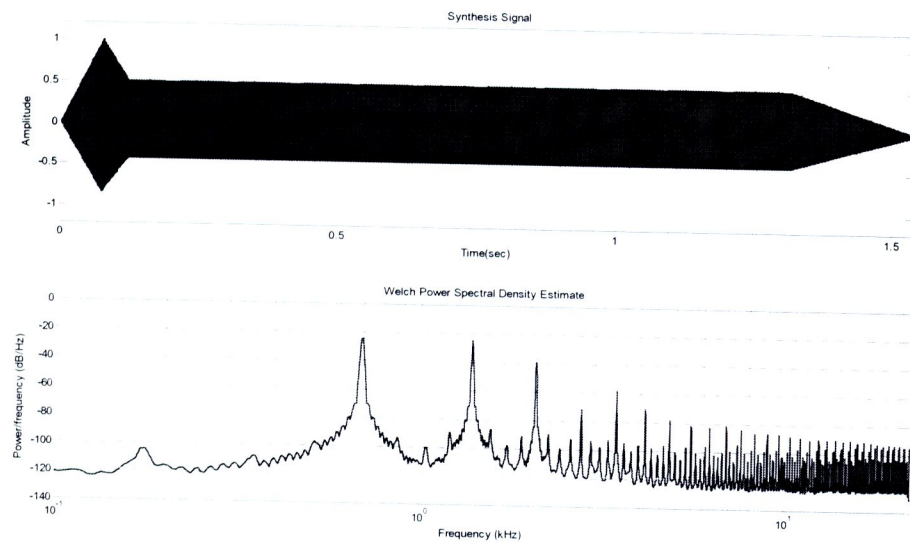
ภาพที่ ข.2 สัญญาณเสียงเรสงเคราะห์ด้วยกรรมวิธี Subtractive Synthesis โดยใช้การประมาณค่าเชิงเส้น และสเปกตรัมที่วิเคราะห์ด้วยฟังก์ชันความหนาแน่นสเปกตรัมกำลัง



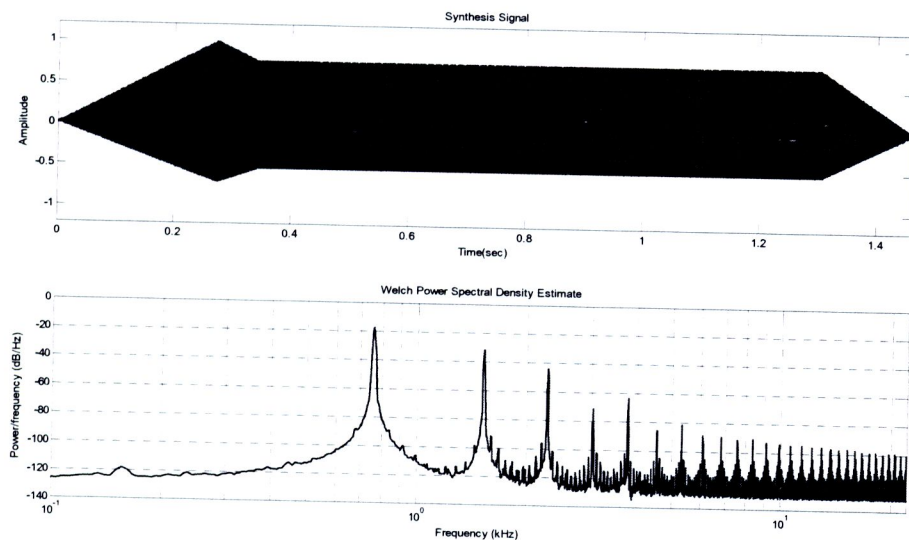
ภาพที่ ข.3 สัญญาณเสียงมีสังเคราะห์ด้วยกรรมวิธี Subtractive Synthesis โดยใช้การประมาณค่าเชิงเส้น และスペกตรัมที่วิเคราะห์ด้วยฟังก์ชันความหนาแน่นスペกตรัมกำลัง



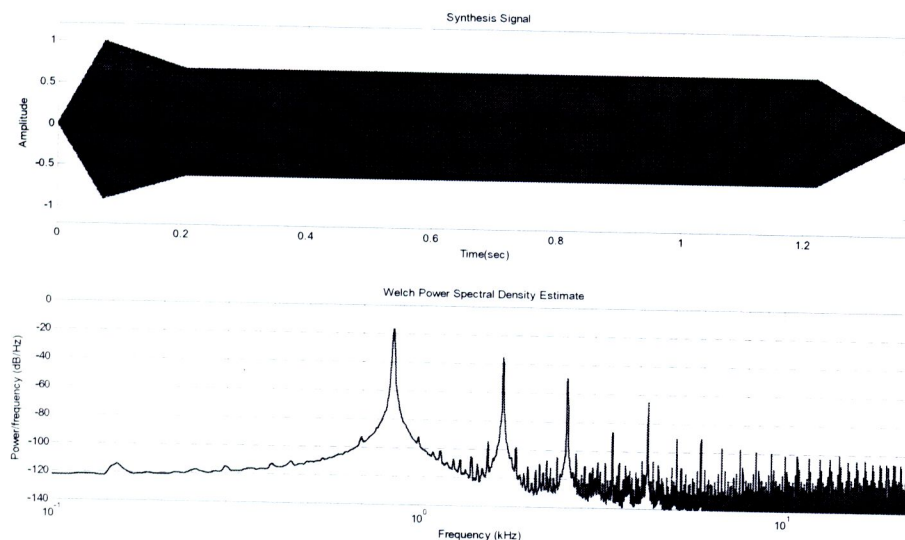
ภาพที่ ข.4 สัญญาณเสียงฟ้าสังเคราะห์ด้วยกรรมวิธี Subtractive Synthesis โดยใช้การประมาณค่าเชิงเส้น และスペกตรัมที่วิเคราะห์ด้วยฟังก์ชันความหนาแน่นスペกตรัมกำลัง



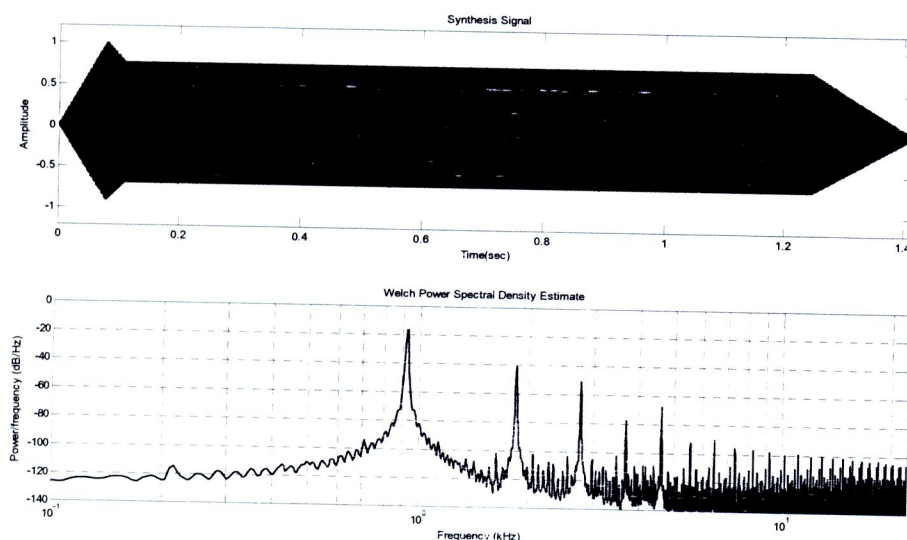
ภาพที่ ข.5 สัญญาณเสียงชอลสั่งเคราะห์ด้วยกรรรมวิธี Subtractive Synthesis โดยใช้การประมาณค่าเชิงเส้น และสเปกตรัมที่วิเคราะห์ด้วยฟังก์ชันความหนาแน่นสเปกตรัมกำลัง



ภาพที่ ข.6 สัญญาณเสียงลาสั่งเคราะห์ด้วยกรรรมวิธี Subtractive Synthesis โดยใช้การประมาณค่าเชิงเส้น และสเปกตรัมที่วิเคราะห์ด้วยฟังก์ชันความหนาแน่นสเปกตรัมกำลัง



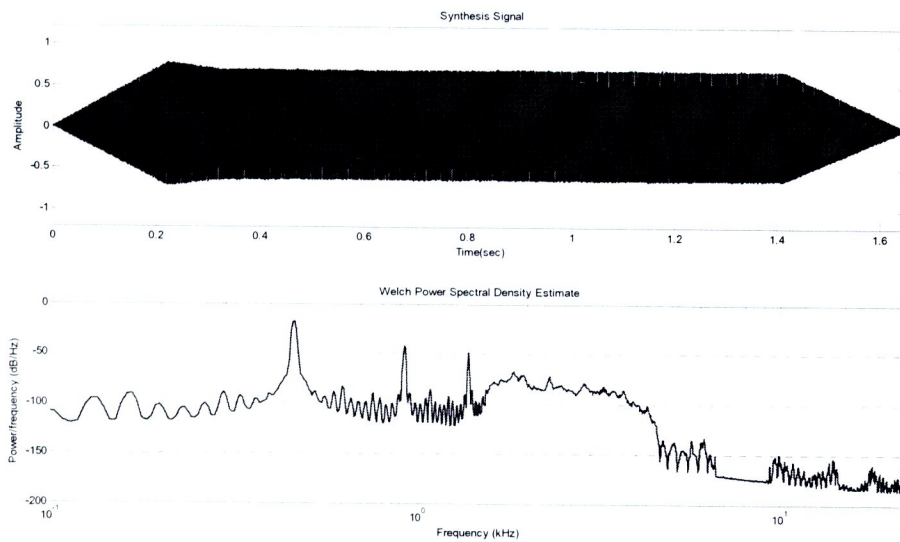
ภาพที่ ข.7 สัญญาณเสียงที่ลังเคราะห์ด้วยกรรรมวิธี Subtractive Synthesis โดยใช้การประมาณค่าเชิงเส้น และสเปกตรัมที่วิเคราะห์ด้วยฟังก์ชันความหนาแน่นสเปกตรัมกำลัง



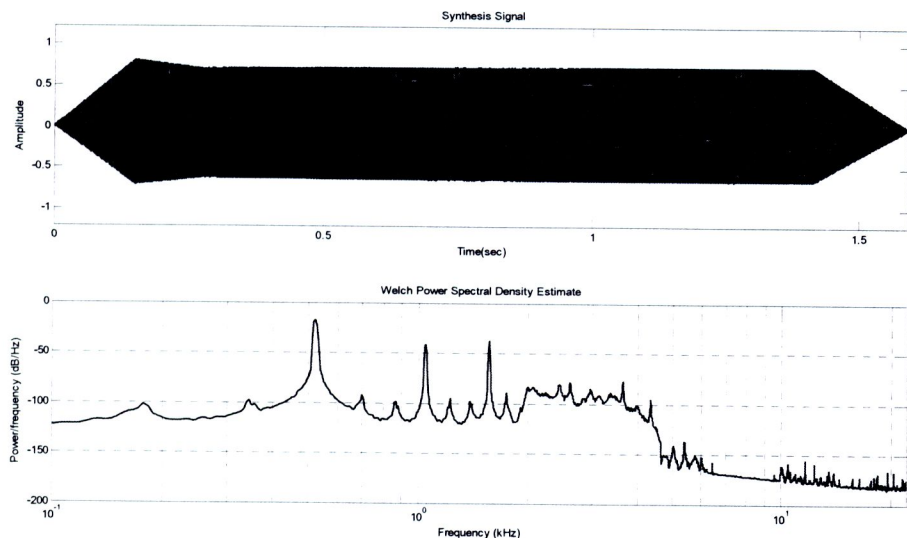
ภาพที่ ข.8 สัญญาณเสียงโดยสูงลังเคราะห์ด้วยกรรรมวิธี Subtractive Synthesis โดยใช้การประมาณค่าเชิงเส้น และสเปกตรัมที่วิเคราะห์ด้วยฟังก์ชันความหนาแน่นสเปกตรัมกำลัง

ภาคผนวก ค

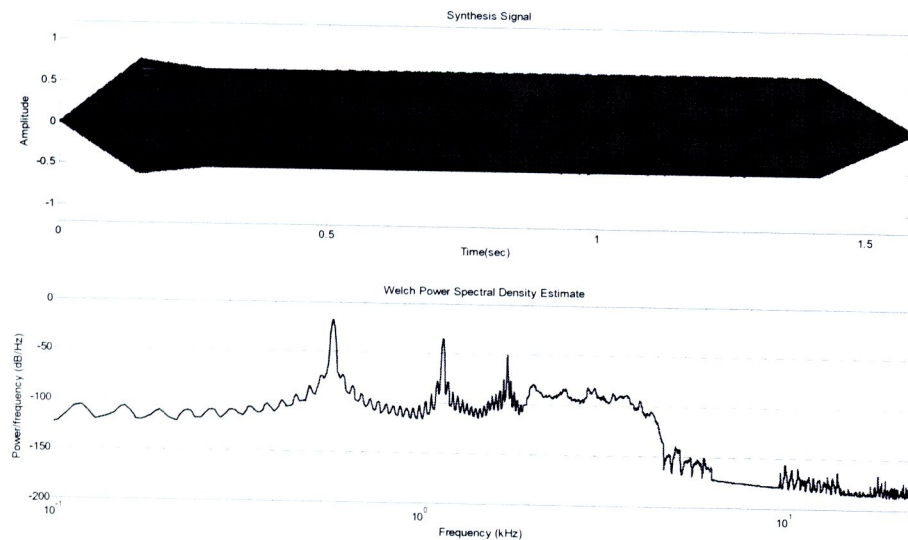
สัญญาณเสียงขลุยเพียงอสังเคราะห์ด้วยกรรมวิธี Subtractive Synthesis โดยใช้การประมาณค่าเชิงเส้นแบบด้วยอยและการคำนวณสเปกตรัมกำลังโดยกรรมวิธีของเวลช์



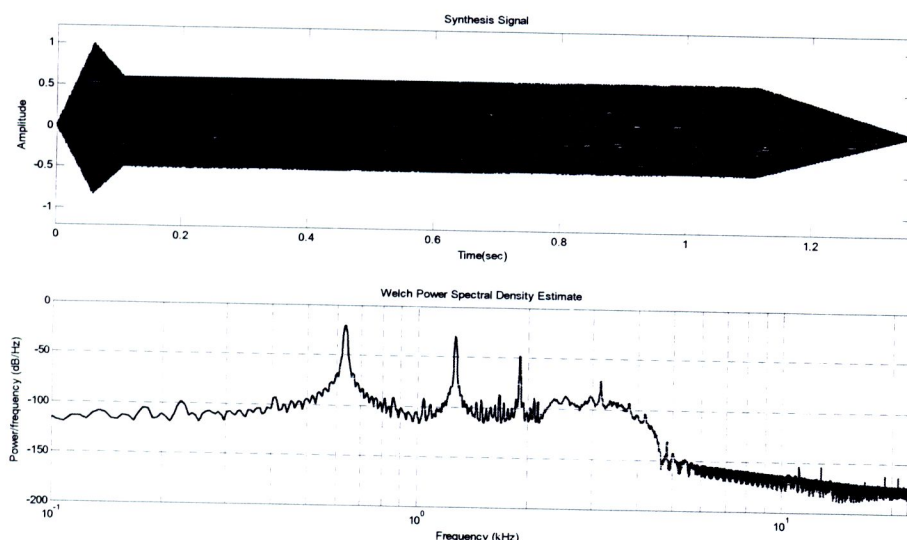
ภาพที่ ค.1 สัญญาณเสียงโดยต่อสั้งเคราะห์ด้วยกรรมวิธี Subtractive Synthesis โดยใช้การ
ประมาณค่าเชิงเส้นแบบด้วยออย และสเปกตรัมที่วิเคราะห์ด้วยฟังก์ชันความ
หนาแน่นสเปกตรัมกำลัง



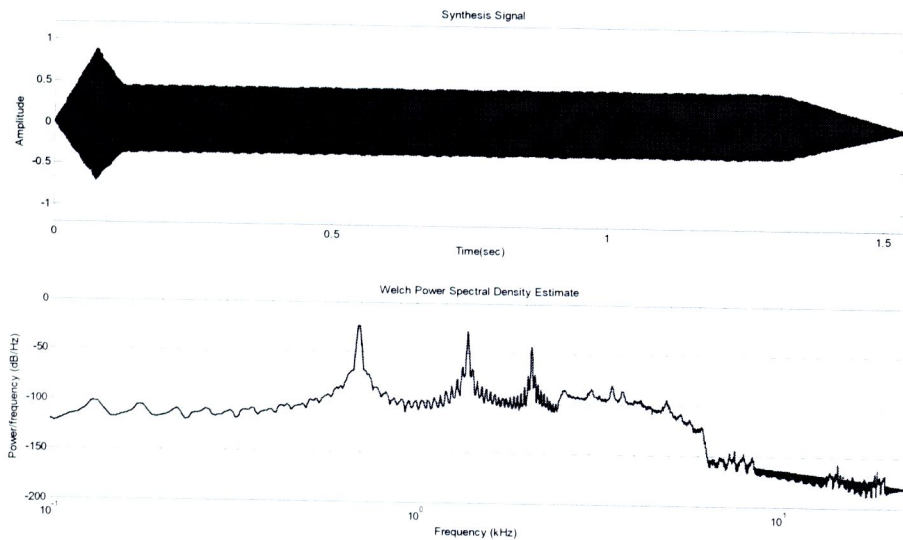
ภาพที่ ค.2 สัญญาณเสียงโดยต่อสั้งเคราะห์ด้วยกรรมวิธี Subtractive Synthesis โดยใช้การประมาณค่า
เชิงเส้นแบบด้วยออย และสเปกตรัมที่วิเคราะห์ด้วยฟังก์ชันความหนาแน่นสเปกตรัม
กำลัง



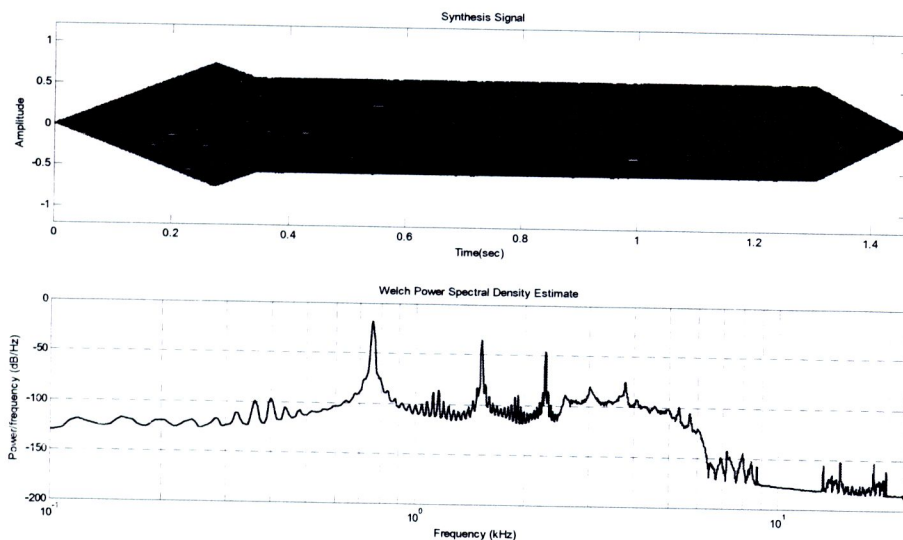
ภาพที่ ค.3 สัญญาณเสียงมีสังเคราะห์ด้วยกรรมวิธี Subtractive Synthesis โดยใช้การประมาณค่าเชิงเส้นแบบด้วยอย และスペกตรัมที่วิเคราะห์ด้วยฟังก์ชันความหนาแน่นスペกตรัมกำลัง



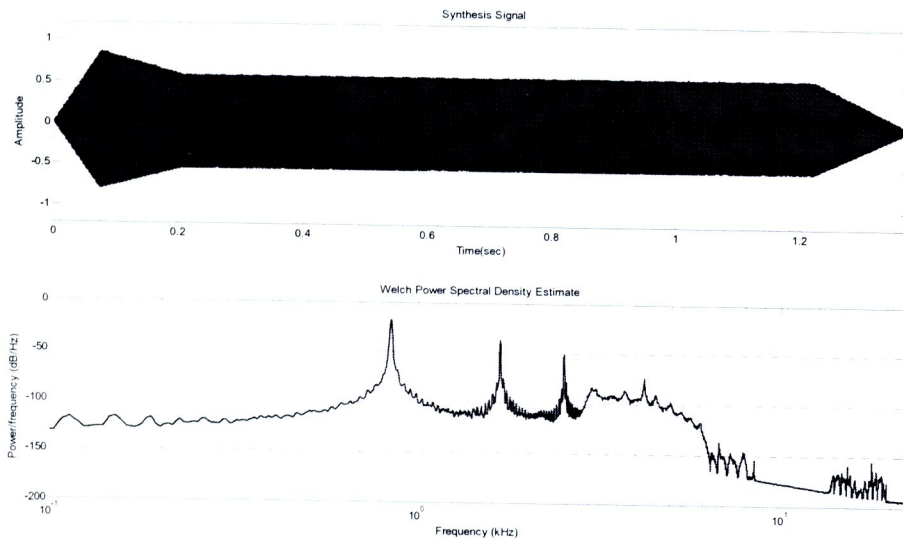
ภาพที่ ค.4 สัญญาณเสียงฟากสังเคราะห์ด้วยกรรมวิธี Subtractive Synthesis โดยใช้การประมาณค่าเชิงเส้นแบบด้วยอย และスペกตรัมที่วิเคราะห์ด้วยฟังก์ชันความหนาแน่นスペกตรัมกำลัง



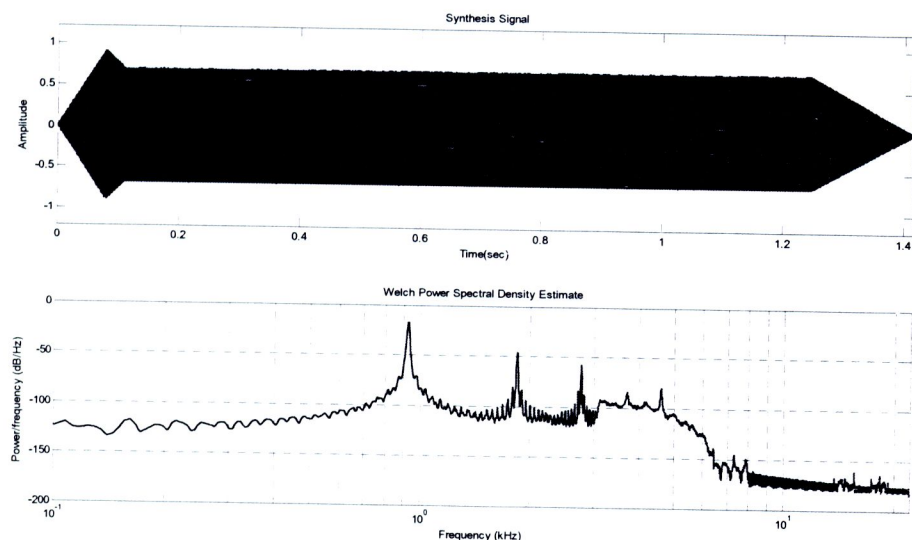
ภาพที่ ค.5 สัญญาณเสียงซอลลังเคราะห์ด้วยกรรมวิธี Subtractive Synthesis โดยใช้การประมาณค่าเชิงเส้นแบบด้วยอย และสเปกตรัมที่เคราะห์ด้วยฟังก์ชันความหนาแน่นสเปกตรัมกำลัง



ภาพที่ ค.6 สัญญาณเสียงลาลังเคราะห์ด้วยกรรมวิธี Subtractive Synthesis โดยใช้การประมาณค่าเชิงเส้นแบบด้วยอย และสเปกตรัมที่เคราะห์ด้วยฟังก์ชันความหนาแน่นสเปกตรัมกำลัง



ภาพที่ ค.7 สัญญาณเสียงที่สังเคราะห์ด้วยกรรมวิธี Subtractive Synthesis โดยใช้การประมาณค่า เชิงเส้นแบบด้วยอย และสเปกตรัมที่วิเคราะห์ด้วยฟังก์ชันความหนาแน่นสเปกตรัม กำลัง



ภาพที่ ค.8 สัญญาณเสียงโดยสูงสังเคราะห์ด้วยกรรมวิธี Subtractive Synthesis โดยใช้การ ประมาณค่าเชิงเส้นแบบด้วยอย และสเปกตรัมที่วิเคราะห์ด้วยฟังก์ชันความ หนาแน่นสเปกตรัมกำลัง

การเผยแพร่ผลงานวิทยานิพนธ์

บทความที่ 1

กรกช แสงรัตนกุล, จรัญ กานุจนประดิษฐ์ และกิตติพงษ์ มีสวاستด. (2552). ความสำคัญขององค์ประกอบของนิสัยของนักเรียนชั้นมัธยมศึกษาปีที่ 6 ในการประเมินค่าความสำเร็จทางวิชาการและผลิตภัณฑ์ทางวิชาการ. *การประชุมวิชาการและเสนอผลงานวิจัยมหาวิทยาลัยหักษณ ครั้งที่ 19.*

บทความที่ 2

กรกช แสงรัตนกุล และกิตติพงษ์ มีสวاستด. (2553). การออกแบบแบบจำลองตัวกำหนดสำหรับนักเรียนโดยใช้การประเมินค่าเชิงเส้น. *การประชุมเครือข่ายวิชาการวิศวกรรมไฟฟ้ามหาวิทยาลัยเทคโนโลยีราชมงคล ครั้งที่ 2.* หน้า 461-464.

ความสำคัญขององค์ประกอบของรูปเสียงชั้นที่ 6 ของเสียงชุด Klui-Piang-Aw

Significance of Harmonics of Klui-Piang-Aw Sounds

กรกช แสงรัตนกุล^{1*}, อรุณ กาญจนประดิษฐ์², กิตติพงษ์ มีสวัสดิ์³

Korakoch Saengrattanakun¹, Jaron Kanjanapadit² and Kitipong Meesawa³

บทคัดย่อ

บทความนี้นำเสนอการทดลองและผลการทดลองเพื่อประเมินความสำคัญขององค์ประกอบของรูปเสียงชุด Klui-Piang-Aw ที่มีเสียงชั้นที่ 6 เป็นอย่างมาก โดยใช้การทดสอบโดยการฟัง การทดลองใช้การทดสอบแบบมีจังหวัด 3 ตัวเลือก ทำการทดสอบกับอาสาสมัครที่มีความเชี่ยวชาญด้านดนตรีไทยจำนวนทั้งสิ้น 15 คน ให้อาสาสมัครตรวจความแตกต่างระหว่างเสียงที่เป็นต้นฉบับเพียบถ้วนเสียงที่ต้องหูประกอบของรูปเสียงที่ลีบันดังๆ วิเคราะห์ผลการทดลองทางสถิติด้วยกระบวนการวิเคราะห์ที่สูง ผลการวิเคราะห์ที่สูงได้ว่าองค์ประกอบของรูปเสียงชั้นที่ 2 ถึงองค์ประกอบของรูปเสียงชั้นที่ 5 มีความสำคัญต่อคุณภาพเสียงชุด Klui-Piang-Aw แต่องค์ประกอบของรูปเสียงชั้นที่ 6 เป็นต้นไปไม่มีความสำคัญต่อคุณภาพเสียงชุด Klui-Piang-Aw

คำสำคัญ: รูปเสียงชุด Klui-Piang-Aw การทดสอบด้วยการฟัง

Abstract

This paper is presented a set of experiments and their results to evaluate the significance of the harmonic components of Klui-Piang-Aw sound. The experiments are conducted by mean of listening test using three alternative forced choice (3-AFC). There are 15 subjects who are expert in Thai music involve in the listening test. The statistical analysis of the experimental results reveals that the second harmonic up to the fifth harmonic are significant to the sound quality of Klui-Piang-Aw. While the harmonic components from sixth order and higher are not significant to the quality of Klui-Piang-Aw.

Keywords: Harmonics Klui-Piang-Aw Listening Test

¹ นักศึกษาภาควิชาศิลปกรรมไฟฟ้า หลักสูตรศิลปกรรมศาสตรมหาบัณฑิต คณะศิลปกรรมศาสตร์ มหาวิทยาลัยขอนแก่น 40002

² อาจารย์ประจำภาควิชาคณิตศาสตร์ คณะศิลปกรรมศาสตร์ มหาวิทยาลัยขอนแก่น 40002

³ อาจารย์ประจำภาควิชาศิลปกรรมไฟฟ้า คณะศิลปกรรมศาสตร์ มหาวิทยาลัยขอนแก่น 40002

* Corresponding author : Email-nutty_ee38@msn.com

คำนำ

การสังเคราะห์เสียงดนตรีไทยเป็นวิทยาการที่มีประวัติยาวนานกว่าการคิดสร้างเครื่องดนตรีไทยในแหล่งศิลป์ เช่น ศิลป์การเรียน การสอนดนตรีไทย และศิลป์การประพันธ์เพลงไทย เป็นต้น เป็นมาตรฐานของการสังเคราะห์เสียงที่ต้องการสร้างเสียงที่สูง แต่ก็ต้องมีความนุ่มนวลของเสียง ไม่แตกต่างจากเสียงดันดับบก. ได้ โดยที่ลักษณะทางภาษาพ้องเสียงสังเคราะห์ต้องเหมือนหรือต่างจากเสียงดันดับบก. ได้ อักษรภาษาทางภาษาพ้องเสียงที่สำคัญ ประการหนึ่งที่คือองค์ประกอบความถี่ (Frequency Components) โดยปกติแล้วเสียงดนตรีเสียงหนึ่งจะประกอบไปด้วยองค์ประกอบความถี่ฐานราก (Fundamental Frequency) หนึ่งความถี่ และองค์ประกอบความถี่อาร์มอนิกส์ (Harmonics) ซึ่งจำนวนหนึ่ง ซึ่งหากการสังเคราะห์เสียงจะต้องสังเคราะห์เสียงที่สูงขึ้นให้ครบถ้วนอย่างที่ประกูลความถี่ที่จะใช้รักษาภาระในการดำเนินงานมาก หากสามารถสังเคราะห์องค์ประกอบความถี่ของเสียงที่สูงขึ้นได้ ก็จะลดความต้องการหัวข้อภาระในการสังเคราะห์เสียงได้ ซึ่งก็จะทำให้การนำเทคโนโลยีในการสังเคราะห์เสียงไปใช้ประโยชน์ได้ในเชิงคุณภาพมากขึ้น

บทความนี้นำเสนอการทดลองและผลการทดลองเพื่อวัดความสำเร็จของการได้บันทึกความถี่ของเสียงขับ เพียงอย่างเดียว ซึ่งเป็นการศึกษาโดยเมื่องมาจากการวัดขั้นเสียงของชุดเพียงอย่างเดียว (สารานุพิ. 2545 ; ฤทธิ์ตน์และคณะ. 2547 ; กิตติพิมพ์และคณะ. 2549) และการใช้เทคนิคการกระชาญชิงโหนคนในการวิเคราะห์เสียงที่สูงขึ้นเพียงอย่างเดียว (ฤทธิ์ตน์และคณะ. 2547 ; ภาคภูมิและคณะ. 2551) การทดลองใช้การทดสอบด้วยการฟัง (Listening Test) แบบบังคับเลือก 3 ตัวเลือก (Three Alternative Force Choices – 3AFC) แต่ละตัวเสือกหรือเสียงชุดเพียงอย่างเดียวที่เขียน เดิมกัน แต่จะมี 1 ใน 3 ของตัวเลือกที่มีจุดเด่นขององค์ประกอบความถี่แตกต่างจากตัวเลือกที่เหลือ อาสาสมัครที่เข้าร่วมที่ฟังเสียงขับเลือกหน้าที่และเลือกเสียงเดียวกันที่เดียวกัน หลังจากอาสาสมัครสามารถเดือยเสียงที่แตกต่างจากตัวเลือกอื่นได้อย่างถูกต้อง และด้วยความสามารถที่ดีขององค์ประกอบความถี่ของตัวเลือกเหล่านี้ กลุ่มตัวอย่างอาสาสมัครประกอบด้วยนักศึกษาจากสาขาวิชาดนตรีไทย คณะศิลปกรรมศาสตร์ มหาวิทยาลัยขอนแก่น จำนวน 15 คน สำหรับหัวข้อที่จะนำเสนอในบทความนี้ประกอบด้วย 4 หัวข้อหลัก ได้แก่ บทนำ อุปกรณ์และวิธีการทดลอง ผลการทดลองและการอภิปรายผลการทดลอง และสรุปผลการวิจัยเป็นสำคัญที่สุดท้าย

อุปกรณ์และวิธีการทดลอง

1. การบันทึกเสียง

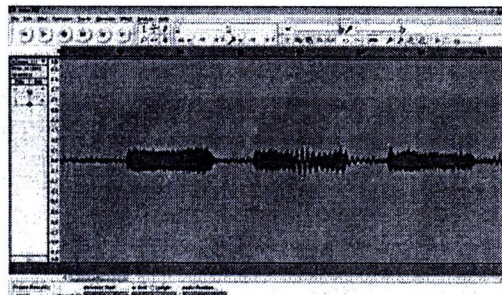
การบันทึกเสียงใช้เสียงจากชุดเพียงอย่างเดียว ชนิดไมร์รอก 1 เล่า บรรยายโดยผู้เชี่ยวชาญด้านการบันทึกเสียงชุดเดียว ซึ่งสถานที่ในการบันทึกเสียงกระทำในห้องทำงานสภาพปกติที่มีขนาด $3.9 \times 3.9 \times 2.9$ ตารางเมตร

ในการเริ่มนับบันทึกผู้บรรยายจะห่างจากไมโครโฟน 1 เมตร กำหนดให้บรรยายได้ระดับจากเสียงได้ต่ำไปจนถึงเสียงโดยสุ่ม ได้บรรยายเสียงชุด 3 รอบ ซึ่งเสียงชุดที่บรรยายจะถูกต่อต่อกันไปอีกในไมโครโฟนรับเสียงรอบทิศทาง (Omni-Directional Microphone) PCB Piezotronics™ 130D20 ซึ่งมีความกว้างและยาวตั้งแต่ 15 kHz แรกนั้น สัญญาณเสียงจะถูกต่อไปอีกช่วงและถูกแปลง成สัญญาณ (24-Bit Data Acquisition Card) National Instruments™ NI PCI-4474 กำหนดค่ารั้งตัวอย่างที่ 44.1 kHz ควบคุมการบันทึก และจัดเก็บสัญญาณที่บันทึกไว้ในรูปแบบไฟล์ WAV ด้วยโปรแกรม Labview™

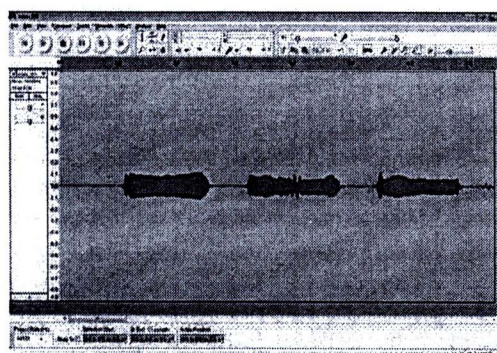


2. การกำจัดเสียงจากกระบวนการ

เนื่องจากเสียงจากเสียงที่ทำการบันทึกนั้น กระทำในสภาพห้องทำงานปกติที่ไม่ใช่ห้องสำหรับบันทึกเสียง ให้ตรวจสอบเสียงที่บันทึกได้ว่าดังแสดงในรูปที่ 1 เพื่อไม่ให้เสียงจากกระบวนการเหล่านี้มีอิทธิพลต่อการทดสอบซึ่งต้องทำการกรองเสียงจากกระบวนการออกเสียงก่อน โดยใช้โปรแกรม Audacity ซึ่งผลการกรองเสียงจากกระบวนการนี้แสดงในรูปที่ 2



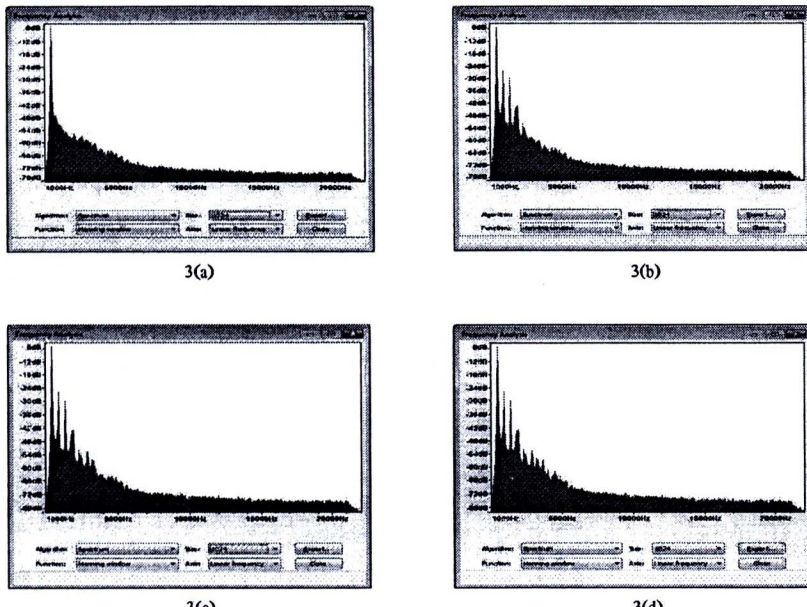
รูปที่ 1 แสดงคัวอ่ายชุดเสียงเสียงโทรศัพท์ที่มีเสียงจากกระบวนการ



รูปที่ 2 แสดงคัวอ่ายชุดเสียงเสียงโทรศัพท์ที่ผ่านการกรองเสียงจากกระบวนการออกเสียงแล้ว

3. การเตรียมคัวอ่ายเสียงที่ใช้ในการทดสอบ

เสียงจากเสียงที่กันการกรองเสียงจากกระบวนการออกเสียงจะถูกนำมาระบบที่ต้องการเสียง แต่ละคัวอ่ายจะถูกตัดออกโดยความต้องการที่ต่างๆ กัน โดยจะมีคัวอ่ายเสียง 4 คัวอ่ายสำหรับเสียงอุเทศบงชอนหนึ่งชั้นเสียง ประกอบด้วย 1) เสียงที่ถูกตัดออกที่ต้องการเสียง 2) เสียงที่ถูกตัดออกที่ต้องการเสียง 3) เสียงที่ถูกตัดออกที่ต้องการเสียง 4) เสียงที่ถูกตัดออกที่ต้องการเสียง นิกส์ที่ทางเข้าไป 3) เสียงที่ถูกตัดออกที่ต้องการเสียง 4) เสียงที่ถูกตัดออกที่ต้องการเสียง นิกส์ที่ทางเข้าไป และ 4) เสียงที่ถูกตัดออกที่ต้องการเสียง นิกส์ที่ทางเข้าไป ซึ่งสามารถรวมของแต่ละเสียงแต่ละคัวอ่ายตามรูปที่ 3(a), 3(b), 3(c), 3(d) ตามลำดับ



รูปที่ 3 แสดงตัวอย่างสเปกตรัมของสัญญาณเสียง โดยตัวที่ผ่านการตัด
องค์ประกอบความถี่ที่สาร์มอนิกส์ล้าดับต่าง ๆ กัน

ดำเนินการตัดองค์ประกอบสาร์มอนิกส์ต่างๆ โดยใช้ Notch Filter ในโปรแกรม Audacity โดยในลักษณะ
จะต้องทำการพิสูจน์ตัดสเปกตรัมเพื่อความถี่ที่ว่าอยู่ในบันทุนบ้าง สำหรับตัวมาใช้ทำการตัดความถี่ในบันทุนที่ไม่ต้องการ
ออก

จากนั้นนำเสียงที่ได้มาจัดรูปแบบเพื่อเตรียมทดสอบด้วยการทั้งตั้งแต่เสียงโดยตรงถึงเสียงโดยสูง โดย
กำหนดให้ใช้สัญญาณต่อไปนี้ในการอธิบาย

- 1 แทนสัญญาณเสียงที่ตัดองค์ประกอบตั้งแต่สาร์มอนิกส์ที่สองขึ้นไป
- 5 แทนสัญญาณเสียงที่ตัดองค์ประกอบตั้งแต่สาร์มอนิกส์ที่หกขึ้นไป
- 7 แทนสัญญาณเสียงที่ตัดองค์ประกอบตั้งแต่สาร์มอนิกส์ที่แปดขึ้นไป
- เสียง แทนสัญญาณเสียงด้านภายนอก

รูปแบบที่ใช้ในการทดสอบนี้ทั้งหมด 3 รูปแบบ ดำเนินการตัดรูปแบบเพื่อทดสอบความสามารถในการได้รับ
องค์ประกอบสาร์มอนิกส์ที่สาร์มอนิกส์ล้าดับต่าง ๆ รวม 3 รูปแบบดังต่อไปนี้

รูปแบบที่ 1 ให้อาสาสมัครฟังเสียงที่ตัดองค์ประกอบตั้งแต่สาร์มอนิกส์ที่ 2 เป็นต้นไปเทียบกับเสียงด้านนอกบัน
รวม 3 ครั้งเพื่อวัดความสามารถในการได้รับองค์ประกอบสาร์มอนิกส์ที่ 2 เป็นต้นไป โดยจัดรูปแบบดังตารางที่ 1

	เสียงลำดับที่ 1	เสียงลำดับที่ 2	เสียงลำดับที่ 3
ชุดทดสอบที่ 1	1	เต็ม	1
ชุดทดสอบที่ 2	1	1	เต็ม
ชุดทดสอบที่ 3	เต็ม	1	1

ตารางที่ 1 ชุดทดสอบที่ใช้ในการทดสอบรูปแบบที่ 1 เพื่อทดสอบความสามารถในการได้ยินเสียงองค์ประกอบของรัมอนิกส์ลำดับที่ 2 เมื่อตัดน้ำไป

รูปแบบที่ 2 ให้อาสาสมัครฟังเสียงที่ตัดองค์ประกอบด้วยแต่รัมอนิกส์ที่ 6 เป็นต้นไปเทียบกับเสียงต้นฉบับรวม 3 ครั้งเพื่อวัดความสามารถในการได้ยินองค์ประกอบของรัมอนิกส์ที่ 6 เป็นต้นไป โดยจัดรูปแบบดังตารางที่ 2

	เสียงลำดับที่ 1	เสียงลำดับที่ 2	เสียงลำดับที่ 3
ชุดทดสอบที่ 1	5	เต็ม	5
ชุดทดสอบที่ 2	5	5	เต็ม
ชุดทดสอบที่ 3	เต็ม	5	5

ตารางที่ 2 ชุดทดสอบที่ใช้ในการทดสอบรูปแบบที่ 2 เพื่อทดสอบความสามารถในการได้ยินเสียงองค์ประกอบของรัมอนิกส์ลำดับที่ 6 เป็นต้นไป

รูปแบบที่ 3 ให้อาสาสมัครฟังเสียงที่ตัดองค์ประกอบด้วยแต่รัมอนิกส์ที่ 8 เป็นต้นไปเทียบกับเสียงต้นฉบับรวม 3 ครั้งเพื่อวัดความสามารถในการได้ยินองค์ประกอบของรัมอนิกส์ที่ 8 เป็นต้นไป โดยจัดรูปแบบดังตารางที่ 3

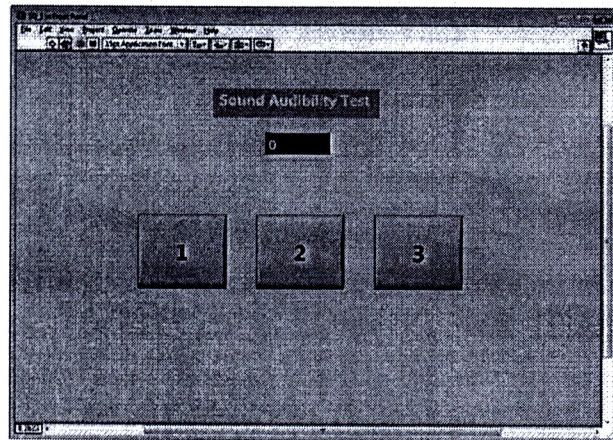
	เสียงลำดับที่ 1	เสียงลำดับที่ 2	เสียงลำดับที่ 3
ชุดทดสอบที่ 1	7	เต็ม	7
ชุดทดสอบที่ 2	7	7	เต็ม
ชุดทดสอบที่ 3	เต็ม	7	7

ตารางที่ 3 ชุดทดสอบที่ใช้ในการทดสอบรูปแบบที่ 3 เพื่อทดสอบความสามารถในการได้ยินเสียงองค์ประกอบของรัมอนิกส์ลำดับที่ 8 เป็นต้นไป

เมื่อได้รูปแบบในแต่ละขั้นเสียงแล้ว นำแต่ละรูปแบบมาทำการซุ่มเลือกตัวอย่างเสียงของภาษาหนึ่งชุดทดสอบให้ครบถ้วน 3 รูปแบบ ทำซ้ำจํานวนครบทุกขั้นเสียงจะได้ตัวอย่างเสียงทั้งหมด 24 ชุดทดสอบ จากนั้นทำการสลับลำดับของชุดทดสอบแบบสุ่ม จะได้รับการตัวอย่างเสียงสำหรับการทดสอบครั้งที่ 1 จำนวนทำร้าย อีก 2 ครั้ง โดย ชุดทดสอบที่ถูกตุ่นเลือกออกมามีเวลาไม่นานมาถ้วนๆ รวมจะได้รับการทดสอบที่ใช้ในการทดสอบต่ออาสาสมัคร 1 คน รวม 3 รายคร่า ๆ ละ 24 ชุดทดสอบ เก็บไฟล์ข้อมูลรายการนี้ไว้ในคอมพิวเตอร์

4. การทดสอบความจับของรัมอนิกส์ด้วยการฟัง

ให้อาสาสมัครฟังเสียงจากการที่บันทึกไว้จากคอมพิวเตอร์โดยใช้หูฟัง (Headphone) ควบคุมการเล่นเสียง (Playback) และบันทึกการตอบสนองของอาสาสมัครโดยใช้โปรแกรม Labview™ ดังแสดงในรูปที่ 4



รูปที่ 4 หน้าต่างโปรแกรมที่ใช้ในทดสอบ

อาสาสมัครจะต้องฟังเสียงที่จะชุดเสียง ฯ ลฯ 3 ตัวอย่างเสียง จากนั้นจึงทำการกดคีย์บอร์ดเสียงที่มีความแตกต่างจากเสียงอื่นโดยใช้มาร์ท หากอาสาสมัครไม่สามารถแนนกันให้รู้เสียงให้มีความแตกต่างจากเสียงอื่นให้อาสาสมัครเดือกด้าลองบินไปบริการเค้า โปรแกรมจะจัดเก็บผลตอบสนองของอาสาสมัครไว้ในรูปของค่าตรรกะ จริง (True) ในกรณีที่ตอบถูก และเท็จ (False) ในกรณีที่ตอบผิด

ผลการทดสอบและอภิปรายผลการทดลอง

ตารางที่ 4 แสดงผลการทดลองทั้ง 3 รูปแบบ โดยแสดงจำนวนครั้งที่อาสาสมัครเดือกดเสียงที่แตกต่างจากพากได้ถูกต้อง และจำนวนที่อาสาสมัครเดือกดเสียงที่ไม่ถูกต้อง

อนึ่ง รูปแบบที่ 1 คือการเปรียบเทียบระหว่างเสียงเดียบหันบันกับเสียงที่ต้องก่อประกายบนสาร์โนนิกส์ที่ 2 ซึ่นนำไปออก รูปแบบที่ 2 คือการเปรียบเทียบระหว่างเสียงเดียบหันบันกับเสียงที่ต้องก่อประกายบนสาร์โนนิกส์ที่ 6 ซึ่นนำไปออก และรูปแบบที่ 3 คือการเปรียบเทียบระหว่างเสียงเดียบหันบันกับเสียงที่ต้องก่อประกายบนสาร์โนนิกส์ที่ 8 ซึ่นนำไปออก

จากตารางที่ 4 สรุปเกตได้ว่าจำนวนครั้งที่อาสาสมัครเดือกดเสียงที่ไม่ถูกต้องในรูปแบบที่ 1 จะถูกลowering จำนวนครั้งที่อาสาสมัครเดือกดเสียงที่แตกต่างได้ถูกต้องในรูปแบบที่ 2 และรูปแบบที่ 3

ตารางที่ 4 แสดงคะแนนการแยกเบี้ยความแตกต่างของเสียง

เสียง	รูปแบบที่ 1		รูปแบบที่ 2		รูปแบบที่ 3	
	ตอบ ถูก	ตอบ ผิด	ตอบ ถูก	ตอบ ผิด	ตอบ ถูก	ตอบ ผิด
โคล่า	29	16	14	31	19	26
ธี	32	13	16	29	8	37
นี	33	12	11	34	20	25
ฟ่า	37	8	12	33	15	30
ซอส	40	5	16	29	14	31
ถ้า	28	17	14	31	20	25
ที	20	25	19	26	17	28
โค้ก	16	29	15	30	13	32

ในการทดสอบแบบ 3-AFC นี้ เมื่ออาสาสมัครไม่สามารถจัดเรียงเสียงให้ถูกต้องตามลำดับของเสียงอื่นจะให้ข้อความว่า “ค่าตอบไม่ถูกต้อง” ซึ่งโอกาสที่อาสาสมัคร 15 คนจะเดาถูกคิดเป็น 1 ใน 3 หรือโอกาสที่จำนวนครั้งที่ตอบถูกของอาสาสมัครทุกคนรวมกันได้ 15 ครั้ง และตอบผิด 30 ครั้งในหนึ่งเสียง คั่งนั้นจะทำการทดสอบโดยใช้การทดสอบแบบไคกำลังสอง (χ^2) (พัชราภรณ์, 2544) ที่ระดับนัยสำคัญ 0.05 จากนั้นตั้งสมมติฐานของ การทดสอบว่าได้ถูกต้องไปในปัจจุบัน

กำหนดให้

$$H_0: \text{จำนวนครั้งที่ตอบถูกมาจากการคาด}$$

$$H_1: \text{จำนวนครั้งที่ตอบถูกไม่ได้มาจากการคาด}$$

จำนวนค่า χ^2 จากจำนวนครั้งที่ตอบถูกและตอบผิดจากตารางที่ 4 และแสดงค่าที่ได้ในตารางที่ 5

เสียง	รูปแบบที่			
		1	2	3
โคล่า		19.6	0.1	1.6
ธี		28.9	0.1	4.9
นี		30.07	1.6	2.5
ฟ่า		48.4	0.9	0
ซอส		62.5	0.1	0.1
ถ้า		16.9	0.1	2.5
ที		2.5	1.6	0.4
โค้ก		0.1	0	0.4

ตารางที่ 5 แสดงค่า χ^2 ของเสียงในแต่ละรูปแบบ

ที่ระดับนัยสำคัญ 0.05 และ α เท่ากับ 1 ค่า $\chi^2_{(0.05,1)}$ จะเท่ากับ 3.84 ซึ่งจากตารางที่ 5 จะเห็นว่าเสียงในรูปแบบที่ 1 เสียงส่วนใหญ่ตั้งแต่เสียงโดยต่างถึงเสียงอื่นมาคือ χ^2 ที่มากกว่า 3.84 นั่นคือ ปฏิเสธ H_0 ซึ่งในรูปแบบที่ 1 มีเพียงเสียงพื้นและโคลุกท่านนั้นที่ข้อมูล H_0 ทั้งนี้อาจเป็นไปได้ว่าเสียงที่มีความถี่สูงขึ้นอาจส่งผลต่อการแยกแยะเสียงที่เป็นໄ้ด์ สำหรับเสียงในรูปแบบที่ 2 และ 3 ค่า χ^2 น้อยกว่า 3.84 นั่นคือข้อมูล H_0 ยกเว้นเสียงเรซูปแบบที่ 3 ท่านนั้น เมื่อจากอาสาสมัครตอบถูกน้อยกว่าปกติ

ดังนั้นจากการทดสอบทางไนโตรเจนในรูปแบบที่ 1 จะปฏิเสธสมมติฐาน H_0 นั่นคือจำนวนครั้งที่ตอบถูกไม่ได้มาจากเครื่อง หรืออีกหนึ่งที่ของอาสาสมัครสามารถแยกแยะความแตกต่างของเสียงได้ถูกต้อง สำหรับเสียงในรูปแบบที่ 2 และ 3 นั้นข้อมูล H_0 นั่นคือจำนวนครั้งที่ตอบถูกตามจากการเครื่อง หรืออีกหนึ่งที่ของอาสาสมัครไม่สามารถแยกแยะความแตกต่างของเสียงได้ถูกต้องซึ่งหมายความว่าองค์ประกอบของชาร์บอนนิกส์ที่ถูกตัดออกไปนั้น ไม่มีความสำคัญต่อคุณภาพเสียงของชุดที่ยังเพียงอยู่

สรุปผลการวิจัย

การศึกษาครั้งนี้เป็นการศึกษาความสำคัญขององค์ประกอบของชาร์บอนนิกส์ของเสียงที่ถูกตัดออก โดยใช้การทดสอบโดยการฟัง ชุดทดสอบที่จัดเตรียมให้อาสาสมัครฟังแล้วประกอบด้วยเสียงดันบับ และเสียงที่ถูกตัดขององค์ประกอบของชาร์บอนนิกส์ที่สำคัญต่อไปนี้ 1 กันออก โดยให้อาสาสมัครพยายามตรวจจับความแตกต่างของหัวข้อเสียงทั้ง 2 นี้โดยการฟัง จากผลการทดสอบสามารถสรุปได้ว่าองค์ประกอบของชาร์บอนนิกส์ที่ 1 ถูกตัด去ที่ 5 มีความสำคัญต่อคุณภาพของเสียงที่ถูกตัดออก ในขณะที่องค์ประกอบของชาร์บอนนิกส์ที่ 6 ซึ่งไม่มีความสำคัญต่อคุณภาพเสียงของชุดที่ยังเพียงอยู่ นั่นหมายความว่าเราสามารถสังเคราะห์เสียงข้ออ้างของได้ โดยให้เสียงสังเคราะห์ประกอบด้วยองค์ประกอบของความถี่ที่สูงและองค์ประกอบของชาร์บอนนิกส์ที่ 2 ถึงชาร์บอนนิกส์ที่ 5 เท่านั้น ที่เพียงพอแล้ว ทำให้ประทับใจที่ในการจัดเก็บข้อมูลและรับพากย์ในการดำเนินการ

เอกสารอ้างอิง

- เข็มวัฒน์ เรืองประพันธ์. (2544). การวิเคราะห์ข้อมูลด้วยโปรแกรม SPSS for Windows. (พิมพ์ครั้งที่ 1). ขอนแก่น : มหาวิทยาลัยขอนแก่น.
- สรราภิ ฤทธิธรรม. (2545). การวิเคราะห์เสียงดนตรีไทย. (พิมพ์ครั้งที่ 1). นครราชสีมา : มหาวิทยาลัยเทคโนโลยีสุรนารี.
- ฤทธิรัตน์ ชิพวะกิจวานิชย์ สรราภิ ฤทธิธรรม กิตติ อัจฉริย์กิจมงคล และ เพียร ได้ท่า ใจ. (2547,กรกฎาคม). “การวิเคราะห์รับเสียงของคนต่างด้าว.” วารสารเทคโนโลยีสุรนารี. 11(3), 179-192.
- กิตติพงษ์ มีสวัสดิ์ จรัญญาภรณ์ประดิษฐ์ และ ภาคภูมิ ใจชัยรุ่งโรจน์. (2549). “การประเมินระบบเสียงของชาร์บอนนิกส์.” ใน การประชุมวิชาการทางวิศวกรรมไฟฟ้า ครั้งที่ 29, 2549. (1053-1056). พฤศจิกายน 2549. กรุงเทพฯ.
- ภาคภูมิ ใจชัยรุ่งโรจน์ จรัญญาภรณ์ประดิษฐ์ และกิตติพงษ์ มีสวัสดิ์. (2551). “การประเมินเสียงดันบับ.” ใน การประชุมวิชาการ วิทยาการคอมพิวเตอร์และวิศวกรรมคอมพิวเตอร์แห่งชาติ ครั้งที่ 12, 2551. (394-397). พฤศจิกายน 2551. กรุงเทพฯ.

การประชุมเครือข่ายวิชาการวิทยากรรมไฟฟ้ามหาวิทยาลัยเทคโนโลยีราชมงคลครั้งที่ 2, 5-6 กันยายน พ.ศ. 2553 มหาวิทยาลัยเทคโนโลยีราชมงคลล้านนา
461

**การออกแบบแบบจำลองตัวถ่วงกอนสำหรับอุ่นเพียงออดโดยใช้การประมาณค่าเชิงเส้น
A Design of a Rasonator model of Kui-Phiang-Aw using Linear Predictive Coding**

กรุงศรีฯ แสวงดันถุล' และ กิตติพงษ์ มีสว่างสี

ภาควิชาวิทยากรรมไฟฟ้า คณะวิทยากรรมศาสตร์ มหาวิทยาลัยเชียงใหม่

บ.มิตรภาพ ต.ในเมือง อ.เมือง จ.เชียงใหม่ 40002 โทรศัพท์ : 084-0300502 E-mail: nutty ee38@msn.com¹, ktpphong@elec.kku.ac.th²

บทคัดย่อ

บทความนี้นำเสนอการออกแบบแบบจำลองตัวถ่วงกอนสำหรับอุ่นเพียงออดโดยใช้การประมาณค่าเชิงเส้นเพื่อสร้างตัวถ่วงกอนผลตอบแทนของอุ่นเพียงออดให้มีรากและภาวะวิเคราะห์เพื่อหาอัตราส่วนที่ดีที่สุดในการประมาณค่าเชิงเส้นที่เหมาะสม โดยเลือกใช้การถ่วงกอนวนทั่วทุกความติดพลาสติก (Sum Square Error - SSE) เวอชูของความถี่โดยทั่วของผลตอบแทนของความถี่ที่สัมภาระที่เพียงกันเทียบดัชนีบันยานช่วยในการตัดสินใจ ดำเนินการทดสอบที่อัตตันศบ 200 250 300 350 และ 400 ผลการทดสอบพบว่าต่ำ SSE มีต่ำสุดที่อุ่นศบ 350

คำสำคัญ: การประมาณค่าเชิงเส้น, การถ่วงกอนที่สัมภาระที่เพียง, ชุดอุ่นเพียงออด

Abstract

This article presents a method of designing Kui-Phiang-Aw using Linear Predictive Coding (LPC). The method consists of frequency analysis of Kui-Phiang-Aw sounds, LPC analysis of Kui-Phiang-Aw sounds, design infinite impulse response (IIR) filters using the obtained LPC coefficients, and determine the quality of the filter using sum square error (SSE). The LPC analysis were done at the order of 200, 250, 300, 350, and 400. The IIR filter of the corresponding orders were constructed. Their quality were tested by means of SSE which is the sum of the square of the difference between the measured frequency components and the dominant frequency of the filter. The experiment shows that the minimum SSE was achieve at the LPC order of 350.

Keywords: Linear Predictive Coding, Synthesis, Kui-Phiang-Aw

1. ค่าตัว

การถ่วงกอนที่สัมภาระที่เพียงคือไฟฟ้ามีประโยชน์กว่างการคิดริโนหลาย ๆ ด้านด้วยกัน อาทิเช่น การประดับไฟฟ้าไทยโดยไม่ต้องท่องทาง เล่นเกรียงคนตระหง่าน กรณีน้ำสัมภาระที่ไม่สามารถรักษาอุณหภูมิได้ดีกว่าการปรับเปลี่ยนพารามิเตอร์ ดังนั้น มหาวิทยาลัยเชียงใหม่ก็ได้ให้เกิดความหลากหลายในกระบวนการนี้ ทำให้สามารถใช้ในระบบอุ่นเพียงออดได้ดีกว่า

กระบวนการนี้ใช้ในการสังเคราะห์ที่สิ่งคุณค่าใช้เทคโนโลยีการประมวลผลสัญญาณดิจิตอล (Digital Signal Processing - DSP) มาช่วยในการสร้างเสียงคุณค่า

บทความนี้นำเสนองานการสังเคราะห์ที่สิ่งคุณค่าที่ดีที่สุดตามวิธี Subtractive Synthesis [1] ซึ่งเป็นกรรมวิธีการสังเคราะห์ที่เรียกกรรมวิธีนี้ว่า น้ำที่ใช้คุณภาพสัมภาระที่ดี แต่ไม่ใช้เสียงน้ำที่มีความซับซ้อนในกระบวนการนี้จะใช้การสังเคราะห์ซึ่งกรรมวิธีจะอาศัยการถ่วงกอนที่สัมภาระที่เพียงกันเพื่อให้ได้มาใช้สร้างตัวถ่วงกอน คุณภาพสัมภาระที่ดีที่สุดจะได้มาใช้สร้างตัวถ่วงกอนนี้ เป็นส่วนที่สำคัญที่จะบ่งบอกถึงคุณภาพเสียงสัมภาระที่ถูกสร้างขึ้น สำหรับที่คงเหลือไว้ที่จะนำมายังงานวิจัยนี้อีก ชุดอุ่นเพียงออด ซึ่งเป็นเครื่องเดียวที่ไม่มีเสียงระดับเสียงปานกลางและให้เสียงเสียงกระซิบในวงศ์ไทย [3] ถือว่าเป็นการศึกษาอ่อนน้อมจากภาระที่และสัมภาระที่เพียงชุดอุ่นเพียงออดที่ผ่านมา [2-4]

งานวิจัยนี้จะเป็นการออกแบบตัวถ่วงกอนสำหรับอุ่นเพียงออด ให้มีผลตอบแทนของความถี่ที่ประดับไฟฟ้าอยู่ในมาตรฐานและควรจะมีชาร์บอนนิกส์ตั้งแต่ 2 ถึง 5 เมื่อจะทางกันที่ประดับไฟฟ้าของอุ่นเพียงออดที่มีคุณภาพสัมภาระที่ดีที่สุด [5]

สำหรับหัวข้อที่จะนำเสนอด้วยการนำเสนอในหัวข้อที่จะประดับไฟฟ้า หัวข้อห้องลักษณะกันได้แก่ ค่าสำราญ คุณภาพที่เกี่ยวข้อง อุปกรณ์และกรรมวิธี การทดสอบ ผลกระทบและอิทธิพลของอุ่นเพียงออด ผลกระทบและอุ่นเพียงออดที่กัน

2. ทดลองที่เกี่ยวข้อง

2.1 การวิเคราะห์คุณภาพสัมภาระที่ด้วยฟังก์ชันความหนาแน่น แปลงคัมภีร์ก้าวและวิธีของเวลช์

กระบวนการนี้ใช้ในการประมาณค่าแปลงคัมภีร์ที่นิยมและใช้กันอย่างกว้างขวาง หลักวิธี ซึ่งที่นิยมมากที่สุดคือ Average Modified Periodogram [6] หรือเรียกว่า วิธีกรวยเวลช์ (Welch's Method) สำหรับการวิเคราะห์คุณภาพสัมภาระที่ดีที่สุด ค่า P_{av} สามารถแสดงได้ดังสมการที่ (1)

$$P_{\text{av}}(f) = \frac{1}{K} \sum_{k=1}^K P_k(f) \quad (1)$$

GNI-3

การประชุมเครื่องวิชาการวิศวกรรมไฟฟ้ามหาวิทยาลัยเทคโนโลยีราชมงคลกรุงเทพ ครั้งที่ 2, 5-6 ตุลาคม พ.ศ. 2553 มหาวิทยาลัยเทคโนโลยีราชมงคลล้านนา
462

โดยที่ K คือจำนวนตัวอักษรที่ใช้ในการแบ่งห้องญาณก่อนทำการวิเคราะห์
 P_x คือ ก้าวเดินครั้งที่ n ในแต่ละบล็อก
 ซึ่งลักษณะของกรณีเรื่องนี้คือตัวแปรน้ำเสียงที่จะมีมา
 วิเคราะห์ตามแบบเป็นบล็อกจากน้ำเสียงเด่นที่จะมีมาต่อเนื่อง
 หน้าต่าง (Window Function) และคำนวณหาตัวสเปกตรัมก้าวเดินเพื่อจะ
 บล็อกหัวการผลรวมคำสัมภาษณ์ของการแปลงฟูร์เรียแบบรวดเร็ว
 (Fast Fourier Transform - FFT) ยกตัวอย่างของทางที่หัวข้อมูลซ้อนกันในแต่
 ละบล็อก อาจมีน้ำเสียงเด่นซึ่งให้มีการเปลี่ยนตัว (Overlap) ตามที่
 กำหนดและทำภารกิจคำนวณร์ท์คูณพิธีการที่ก่อตัวมานานกรบทุกน้อก และ
 ขั้นตอนทุกทักษะที่น้ำเสียงเด่นก้าวเดินเพื่อจะบล็อกหัวการผลรวมคำสัมภาษณ์หัวต่อหัว
 ก้าวเดิน ซึ่งหากมีหัวต่อหัว ๆ ที่ใช้ในการวิเคราะห์ในงานวิจัยจะช่วยให้ใน
 หัวข้ออุปกรณ์และกระบวนการวิธีการทดสอบ

2.2 การประมาณค่าเชิงเส้น (Linear Predictive Coding - LPC)

การประมาณค่าเชิงเส้น [6] เป็นกระบวนการที่นิยมใช้ในการ
 เจ้าห้ามการประมาณค่าห้องญาณเดิมๆ ซึ่งในส่วนของงานวิจัยนี้จะเป็น
 การประมาณค่าในสิ่งแวดล้อมที่อยู่ในห้อง ให้ใช้การของแบบหัวใจของ
 สำหรับสุ่ยเพื่อจะได้ ให้หัวใจของห้องญาณที่ได้จากการประมาณค่า
 แทนด้วย $\hat{x}(n)$ ซึ่งได้มามากกว่าห้องญาณเดิมที่อยู่ในห้องหน้า $x(n-i)$ มาก
 ให้ในกระบวนการเพื่อหัวสัมประสิทธิ์ประมาณค่าเชิงเส้น
 a_i สำหรับใช้ในการคำนวณห้องญาณนั้นๆ ซึ่งกรณีเรื่องการคำนวณแสดง
 ดังสมการที่ (2) ดังนี้

$$\hat{x}(n) = - \sum_{i=1}^p a_i x(n-i) \quad (2)$$

โดยที่ p คือ อันดับของการประมาณค่าเชิงเส้น
 จากสมการที่ (2) สามารถหาค่าความคิดพอดากจาก การประมาณได้ด้วย
 สมการที่ (3)

$$e(n) = x(n) + \sum_{i=1}^p a_i x(n-i) \quad (3)$$

โดยที่ $x(n)$ คือ ห้องญาณเดิมที่นำมาคำนวณค่าเชิงเส้น
 ในกระบวนการคำนวณห้องญาณที่ได้จากการประมาณ
 ซึ่งมานั้นจะต้องมีลักษณะไปถัดกันห้องญาณเดิมที่ต่อๆ ตันกัน
 ซึ่งต้องทำการประมาณให้มีค่าความคงของคิดพอดากคำลังของให้มีอยู่
 ที่ตุ๊ก ซึ่งแสดงได้ดังสมการที่ (4)

$$\epsilon = e^2(n) = \left[x(n) + \sum_{i=1}^p a_i x(n-i) \right]^2 \quad (4)$$

จากสมการที่ (4) สามารถคำนวณหาค่า a_i ได้จากเงื่อนไข

$$\frac{dE}{da_i} = 0 \quad \text{ซึ่งผลลัพธ์ที่ได้แต่เดียวให้ดังสมการที่ (5)}$$

$$\sum_{i=1}^p a_i R(m-i) = -R(m); m = 1, 2, \dots, p \quad (5)$$

จากสมการที่ (5) สามารถจัดให้อยู่ในรูปของมติกิจได้ดังสมการที่ (6)

$$R\vec{a} = -\vec{r} \quad (6)$$

โดยที่ R คือ ขอให้ดูเครื่องมือเครื่อง

\vec{r} คือ ครอบครัวเครื่องมือเครื่อง

\vec{a} คือ เวกเตอร์ของตัวสัมประสิทธิ์การประมาณค่าเชิงเส้น

จากสมการที่ (6) สามารถแก้สมการเพื่อหาค่า a_i โดย
 อาศัยอัลกอริズึมของ Levinson และ Durbin [6]

ในส่วนแบบจำลองของห้องห้องญาณที่ได้จากการประมาณ
 สามารถแสดงได้ดังสมการที่ (7)

$$H(z) = \frac{1}{1 + \sum_{i=1}^p a_i z^{-i}} \quad (7)$$

จากสมการที่ (7) แบบจำลองที่ได้จะนำไปใช้สำหรับการ
 ออกแบบแบบจำลองหัวใจของห้องห้องญาณที่ห้องเดียว โดยผลลัพธ์ของแบบจำ
 ลองจะอยู่ในหัวข้อผลกระทบของและกิปรายผลกระทบของ

3. อุปกรณ์และกระบวนการวิธีการทดสอบ

3.1 การบันทึกเสียง

การบันทึกเสียงใช้เสียงจากห้องต่อห้องของห้องนิดไม้รอด 1 เสา
 บรรเลงโดยผู้ช่วยห้องคำนวณรรดลงด้วย ซึ่งสามารถที่ในการบันทึกเสียง
 กระแทกในห้องที่ทำงานและการประจุตัวมีขนาด $3.9 \times 3.9 \times 2.9$ ตารางเมตร

ในการรับรับดันบันทึกห้องรรดจะอยู่ห่างจากในไกดไฟน์ 1
 เมตร กำหนดให้บรรเลงได้ระดับของเสียงให้ต่ำไป จนถึงเสียงโภค ให้ข
 บรรเลงเสียงต่ำ 3 รอบ ซึ่งเสียงต่ำที่บรรเลงจะถูกส่งผ่านไปยัง
 ในไกดไฟน์รับเสียงของพิเศษ (Omni-Directional Microphone) PCB
 Piezotronics™ 130D20 ซึ่งมีความกว้างแบบวงกลมที่รับได้ 15
 กิกะ赫ซ์ จากนั้นห้องญาณเสียงจะถูกส่งต่อไปยังวงจรแปลงห้องญาณ
 (24-Bit Data Aquisition Card) Nation Instruments™ NI PCI-4474
 กำหนดอัตราซักซ้อมต่อ 44.1 กิกะ赫ซ์ ควบคุมการบันทึก และ

การประชุมที่ขอรับอนุญาตวิชาการวิทยาศาสตร์ทั้งหมดในมหาวิทยาลัยราชภัฏเทคโนโลยีราชมงคลครั้งที่ 2, 5-6 กุมภาพันธ์ 2553 มหาวิทยาลัยเทคโนโลยีราชมงคลล้านนา

463

จัดเก็บข้อมูลภาพที่บันทึกได้ในรูปแบบไฟล์ wav ด้วยโปรแกรม Labview™ และเพื่อจัดเก็บอนุนัตติสืบให้ทำการตรวจสอบค่าสัญญาณ รับกวนพบว่ามีสัญญาณรบกวนอยู่ในช่วงความถี่ต่ำกว่า 100 เฮิรตซ์ จึงได้ทำการกรองสัญญาณโดยตัวกรองความถี่สูงผ่านแบบบันทึกเครื่องไวร์รันดัน 4 ที่มีค่าความถี่ต่ำที่ 100 เฮิรตซ์ เพื่อตัดกอนสัญญาณรบกวนที่แฝงอยู่ใน การบันทึกสืบ

3.2 การวิเคราะห์องค์ประกอบเชิงความถี่ของเสียงอุ่นพิยะงอ

การวิเคราะห์องค์ประกอบเชิงความถี่ของเสียงอุ่นพิยะงอใช้ การวิเคราะห์ความหนาแน่นเป้ากรวยทั่วไป โดยการคำนวณมิติเครื่องที่ใช้ ในการวิเคราะห์ได้แก่

1. อัตราการถ่ายทอดว่าต่ำกว่า 44.1 กิโลเฮิรตซ์ ซึ่งเป็นมาตรฐาน ของอัตราการถ่ายทอดสัญญาณเสียงของออดิโอ (Audio) โดยทั่วไป

2. งานวนซ้ำที่ใช้ในการประเมินปัจจัยเรื่องแบบบรรทัดเรียว่าต่ำกว่า 8,192 จุด หรือเท่ากับ 185.76 msec ซึ่งໄດ້ใช้ก็จะช่วยเวลาที่มนุษย์ สามารถตรวจจับได้ (Duration of Unity Detectability : 15-150 msec) [7] และมีการเพิ่มเติม (Overlap) ที่ 50 เปอร์เซ็นต์ หรือ 4,096 จุด

3. การเลือกฟินเฟิร์นหน้าต่าง ให้เลือกใช้หน้าต่างขนาดหน้าต่าง ชนิดแบนด์เวย์ (Blackman Window) ซึ่งมีค่าไม้ใช้เคราะห์ที่เสียงอุ่น พิยะงอให้ก้าวตามเสียงแบบบันทึกที่ถูกต้องมากกว่าฟินเฟิร์นหน้าต่าง ชนิดอื่นๆ [2]

ในเบื้องต้นได้ทดลองวิเคราะห์ที่สัญญาณไข่บีทุกที่ทั้ง กรรมวิธีที่เกี่ยวข้องกับตัวอย่างที่ได้ทำการวิเคราะห์ในช่วง ความถี่ 100 – 1000 เฮิรตซ์ เพื่อตรวจสอบความถูกต้อง โดยผลการ ทดลองที่ได้พบว่ามีความคลาสสิกที่ถูกต้องมากกว่าฟินเฟิร์นหน้าต่าง มาตรฐานเท่ากับ 0.77 เฮิรตซ์

สำหรับผลการวิเคราะห์ที่เพื่อหาองค์ประกอบเชิงความถี่ของ สัญญาณเสียงอุ่นพิยะงอในหัวข้อผลการทดลองและอุปกรณ์ ความหนาแน่นเป้ากรวยทั่วไป แสดงให้เห็นดังตารางที่ 1

3.3 การออกแบบแบบจำลองตัวถ่วงทั่วไปของหัวรับอุ่นพิยะงอ

ในเบื้องต้นได้ทำการทดลองของสัญญาณไข่บีทุกที่ตาม ปัจจุบันที่ความถี่ 125 250 500 1000 และ 2000 เฮิรตซ์ รวมกัน ด้วยอัตราการถ่ายทอดต่ำกว่า 44.1 กิโลเฮิรตซ์ งานนี้จึงได้ การวิเคราะห์ที่เก็บประวัติการประมวลผลที่ใช้สำหรับที่อัตรา 100 150 200 250 300 350 และ 400 ตามอัตราที่เพื่อหาข้อต่อไปที่เหมาะสม

จากการทดลองเบื้องต้นพบว่าอันดับที่ 100 ไม่เหมาะสมที่จะ นำมาใช้ในการจำลองนี้ของออกแบบจำลองตัวถ่วงทั่วไปให้ความถี่โดยเด่น ของทดสอบบนของเชิงความถี่ไม่ครบถ้วนความถี่ และอันดับที่ 150 ดังนี้ ความถูกต้องของเสียงโดยเด่นที่อัตราที่ 100 150 200 250 300 350 และ 400 ตามอัตราที่เพื่อหาข้อต่อไปที่เหมาะสม

อันดับ 200 – 400 ซึ่งมีความคลาสสิกที่อ่อนน้อมถ่อมตนเพื่อใช้ในการจำลองตัว ถ่วงทั่วไป

ดังตารางที่ 2 ด้วยการวิเคราะห์ที่สัญญาณเสียงด้านลับเพื่อหาองค์ ประกอบเชิงความถี่ที่อัตราที่ 200 250 300 350 และ 400 ตามอัตรา ให้ได้ใช้สัญญาณคงที่ (Sustain) ขนาด 8,192 จุด ซึ่งทั่วไป การวิเคราะห์ที่หัวฟังก์ชันความหนาแน่นเป้ากรวยทั่วไป งานนี้นำ สมประสิทธิ์การประมวลผลที่เจิงเด่นมาสร้างตัวกรองสัญญาณที่มี ทดสอบบนของอินพุตที่ไม่ถูกต้องที่อันดับที่หัวกันเพื่อจัดตั้งตัวถ่วงทั่วไป สำหรับอุ่นพิยะงอ

ดังกล่าวทดสอบบนของเชิงความถี่ในแต่ละอันดับและบันทึก ค่าความถี่ให้กับเพื่อทดสอบของผลทดสอบของเชิงความถี่เพื่อเปรียบเทียบกับ องค์ประกอบของเชิงความถี่ของสัญญาณเสียงด้านลับ ด้วยค่าพารามิเตอร์ ของ แบบจำลองที่หัวตัดพิเศษค่าลังกระ (Sum Square Error – SSE) ซึ่ง ค่าวนวัดได้จากทดสอบของอุ่นพิยะงอทั่วไปขององค์ประกอบเชิงความถี่ของ สัญญาณเสียงที่อันดับกับความถี่โดยเด่นของทดสอบบนของเชิงความถี่ที่ ได้จากแบบจำลองตัวถ่วงทั่วไปที่อันดับที่หัวกันเพื่อจัดตั้งตัวถ่วงทั่วไป หัวข้อทดสอบและอุปกรณ์การทดสอบ

4. ผลการทดลองและอุปกรณ์การทดสอบ

ผลการวิเคราะห์ที่สัญญาณเสียงที่อุ่นพิยะงอโดยใช้ฟินเฟิร์น ความหนาแน่นเป้ากรวยทั่วไป แสดงให้เห็นดังตารางที่ 1

ตารางที่ 1 ผลการวิเคราะห์องค์ประกอบเชิงความถี่ของเสียงอุ่นพิยะงอ

ความถี่	ความถี่ ที่ 1	ความถี่ ที่ 2	ความถี่ ที่ 3	ความถี่ ที่ 4	ความถี่ ที่ 5
โคน้ำ	463	920.5	1,384	1,846	2,309
เร	522.2	1,044	1,567	-	2,606
มี	576	1,147	1,723	-	2,875
ฟ่า	635.2	1,265	1,895	-	3,165
ซอ	694.4	1,389	2,078	-	3,467
สา	759	1,518	2,283	3,042	3,801
ตี	845.2	1,690	2,536	-	4,226
โภช	925.9	1,846	2,767	3,698	4,613

จากตารางที่ 1 จะเห็นว่าที่าร์โนนิกส์ที่ 4 ของสัญญาณเสียงจะ มี ฟ้า ซอ ซอ และตีที่ มีอัตราของทดสอบของเชิงความถี่ที่สูงไป ซึ่งในการจำลอง ที่ถูกต้องทดสอบบนของเชิงความถี่จะต้องมีความถี่ที่ขาดหายไปตาม สัญญาณเสียงด้านลับ โคน้ำต่ออัตราของทดสอบบนของเชิงความถี่ของตัวถ่วง ทั่วไปของเสียงโดยเด่นที่อันดับต่ำๆ ตามการทดสอบได้ดังตารางที่ 2

การประชุมที่ขอรับวิชาการวิศวกรรมไฟฟ้ามหาวิทยาลัยเทคโนโลยีราชมงคลกรุงเทพ ครั้งที่ 2, 5-6 ตุลาคม พ.ศ. 2553 มหาวิทยาลัยเทคโนโลยีราชมงคลกรุงเทพ

464

ตารางที่ 2 ผลการจำลองด้วยคอมพิวเตอร์ใช้การประมาณค่าเชิงเส้นของเสียงໄค์ที่อัตนับต่างๆ

อัตนับ ที่	ความถี่ ที่ 1	ความถี่ ที่ 2	ความถี่ ที่ 3	ความถี่ ที่ 4	ความถี่ ที่ 5	SSE
200	463	923.2	1,386	1,836	2,307	115.29
250	460.3	923.2	1,389	1,822	2,304	633.29
300	460.3	923.2	1,386	1,838	2,307	79.29
350	460.3	923.2	1,386	1,841	2,309	43.58
400	460.3	923.2	1,386	1,841	2,307	47.58

ซึ่งค่า SSE ของเสียงໄค์ที่อัตนับต่างๆในแต่ละอัตนับของสัมประสิทธิ์การประมาณค่าเชิงเส้นແลดงให้ดังตารางที่ 3

ตารางที่ 3 ผลการคำนวณค่า SSE ของเสียงໄค์ที่อัตนับต่างๆ

อัตนับที่	200	250	300	350	400
ໄค์ที่ 1	115.29	633.29	79.29	43.58	47.58
2	109	73	34	13	13
3	1,314	491	33	29	33
4	9	25	34	34	25
5	24.76	24.76	15.76	15.76	15.76
6	466.29	113	73	38	38
7	68	29	25	9	9
โดยรวม	495.29	207.29	7.29	25.29	52.29

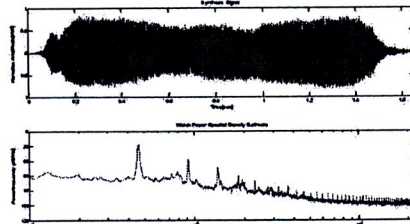
เมื่อได้ค่า SSE ของเสียงໄค์ที่อัตนับต่างๆแล้ว สำหรับค่าที่ได้มาคำนวณหาค่าเฉลี่ย SSE ของอัตนับต่างๆก็จะได้ค่าเฉลี่ย SSE ของอัตนับที่ 350 ซึ่งอยู่ในกรอบที่ 4 ซึ่งแสดงให้ดังตารางที่ 4

ตารางที่ 4 ผลการคำนวณค่าเฉลี่ย SSE ของเสียงໄค์ที่อัตนับต่างๆ

อัตนับที่	ค่าเฉลี่ย SSE
200	325.20
250	199.54
300	37.67
350	25.95
400	29.24

จากตารางที่ 4 จะเห็นว่าค่าเฉลี่ย SSE ของเสียงໄค์ที่อัตนับ 350 ของสัมประสิทธิ์การประมาณค่าเชิงเส้นมีค่าที่ต่ำที่สุด

สำหรับแบบจำลองด้วยคอมพิวเตอร์ในการลดน้ำเสียงร้องเสียงสัมภาระที่ได้ ซึ่งด้วยอัตราการสัมภาระที่เสียงໄค์ที่ต่ำก็สามารถลดน้ำเสียงได้



รูปที่ 1 สัญญาณเสียงสัมภาระและผลการวิเคราะห์ของค่าประกอบเรียงความตื้น

5. สรุปผลการทดลอง

การออกแบบด้วยคอมพิวเตอร์สำหรับร้องเสียงโดยใช้การประมาณค่าเชิงเส้นที่อัตนับเท่ากับ 350 เหมาะสมที่จะนำมาใช้จำลองด้วยคอมพิวเตอร์เพื่อทดสอบไปร่วมกับคอมพิวเตอร์ที่อยู่ใน SSE เพื่อแก้ 25.95 ซึ่งเป็นค่าที่ต่ำสุด แต่ถ้ายังไม่สามารถในการนำไปใช้ก็ต้องเป็นเครื่องสังเคราะห์เสียงที่ทางบ้านซึ่งไม่สามารถจะได้ให้รีสอร์ฟท์แวร์ให้สามารถนำเสียงจากอัตนับที่สูง ซึ่งส่งผลให้ตัวประมาณที่ใช้จะต้องมีความเร็วเป็นอย่างมากและมีพื้นที่ในการจัดเก็บข้อมูลจำนวนมาก

เอกสารอ้างอิง

- [1] Perry R. Cook, "Real Sound Synthesis for Interactive Applications", AK Peters, 2004.
- [2] รุ่งานันท์ ศิริเจริญไชย และคณะฯ, "การวิเคราะห์และสังเคราะห์เสียงชุดไทยโดยใช้โมเดลแบบ Sinusoidal Plus Noise", วารสารเนินบท 36, ปั้นayan – ศุภานุภาพ 2543.
- [3] ธรรมวดี ทุติวงศ์, "การวิเคราะห์เสียงคนไทย", นควรราชภัฏมหาวิทยาลัยเทคโนโลยีราชมงคลกรุงเทพ, 2545.
- [4] กิตติพงษ์ มีกุลวงศ์ และคณะฯ, "การประเมินระบบเสียงธรรมชาติของชุดพื้นที่ของ ", การประชุมวิชาการทางวิศวกรรมไฟฟ้าครั้งที่ 29, หน้า 1053-1056, 9-10 พ.ค. 2549.
- [5] กราก แสงรัตน์สุก และคณะฯ, "ความสำคัญขององค์ประกอบสาระ มนติการชุดของชุดพื้นที่ของ ", การประชุมวิชาการและนิทรรศการงานวิจัยมหาวิทยาลัยทักษิณ ครั้งที่ 19, 24-25 ก.ค. 2552.
- [6] John G. Proakis and Dimitris G. Manolakis, "Digital Signal Processing, Principles, Algorithms, and Applications", Prentice-Hall, New Jersey, 1996.
- [7] B.J.C. Moore, "An Introduction to the Psychology of Hearing", Academic Press, Great Britain, 1997.



ประวัติผู้เขียน

นายกรกช แสงรัตนกุล เกิดเมื่อวันที่ 8 ตุลาคม พ.ศ. 2526 สำเร็จปริญญาตรีจาก
ภาควิชาวิศวกรรมไฟฟ้า คณะวิศวกรรมศาสตร์ มหาวิทยาลัยขอนแก่น เมื่อปี พ.ศ. 2549
และในปีเดียวกัน ได้เข้าศึกษาต่อในระดับบัณฑิตศึกษา สาขาวิศวกรรมไฟฟ้า คณะ
วิศวกรรมศาสตร์ มหาวิทยาลัยขอนแก่น

